

MÁSTER UNIVERSITARIO EN CIENCIA Y TECNOLOGÍA ESPACIAL

TRABAJO FIN DE MÁSTER

ELABORACIÓN DE UN PROGRAMA PARA SIMULAR Y REPRESENTAR EL PROBLEMA DE N CUERPOS

Estudiante
Director/Directora
Departamento
Curso académico

Galindo Leandro, Iñigo Jesús
Rojas Palenzuela, Jose Félix
Física Aplicada
2021/2022

Bilbao, septiembre 2022

Resumen

Castellano

En este trabajo se repasan las leyes de interacción gravitatoria entre 2, 3 y N cuerpos. Tras ello se presenta un método numérico para resolver dichos problemas y se elabora un software programado en Python para calcularlos y representarlos. Por último, se presentan los resultados más relevantes que proporciona el programa y se constata que funciona adecuadamente.

Euskara

Lan honetan 2, 3 eta N gorputzen arteko grabitazio legeak berrikusiko ditugu. Ondoren problema hauek ebazteko zenbakizko metodo bat aurkezten dugu eta Python lengoaiari idatzitako programa bat garatzen dugu problema hauen erantzunak kalkulatu eta irudikatzeko. Azkenik, programa honek ematen dizkigun emaitza garrantzitsuenak aurkezten ditugu eta softwarea ondo dabilela egiaztatzen dugu.

English

This thesis reviews the laws of gravitational interaction between 2, 3 and N bodies. Then, a numerical method is described to solve these problems. With these tools a Python code is developed to compute and draw the solutions. Finally, the most relevant results provided by the program are presented and it is shown that it works properly.

Índice general

Introducción	5
1. Teoría relevante	7
1.1. Interacción gravitatoria	7
1.1.1. Cálculo de variaciones y notación lagrangiana	7
1.1.2. El problema de los dos cuerpos	8
1.1.3. El problema de los 3 cuerpos	12
1.1.4. El problema de N cuerpos	15
1.2. Método de Runge-Kutta de orden 4	16
1.2.1. Aplicación al problema de N Cuerpos	18
1.3. Estructura del software	20
1.3.1. Interfaz gráfica	20
1.3.2. Cálculo numérico	22
2. Principales resultados	23
2.1. Simulación del problema de dos cuerpos	23
2.1.1. Órbita circular	23
2.1.2. Órbita elíptica	24
2.1.3. Órbita hiperbólica	26
2.1.4. Órbita parabólica	29
2.2. Resolución del problema de los 3 cuerpos	30
2.2.1. Órbitas de halo y Lissajous	31
2.3. Simulación de la órbita de Ulysses	34
2.4. Simulación masas iguales	35
Conclusiones	37
Bibliografía	39
Anexo 1: código de la interfaz gráfica	41
Código de la interfaz gráfica	41
Código para el cálculo numérico	48
Anexo 2: archivos .txt de para el input	55
Órbita circular	55
Halley-Sol	55

Halley-Sistema Solar	55
Oumuamua-Sol	56
Oumuamua-Sistema Solar	56
Órbita parabólica	56
Ulysses	56
Masas iguales	57

Introducción

Desde la desaparición de My Solar System como herramienta didáctica de astrodinámica no ha aparecido ninguna alternativa que la sustituya.

En el presente trabajo se hace repaso de las leyes que gobiernan las interacciones gravitatorias clásicas y se presentan los problemas de 2, 3 y N cuerpos así como algunos resultados interesantes que se extraen del análisis de dichos problemas.

Algunos de los problemas que aparecen al analizar dichas leyes no tienen solución analítica por lo que, a continuación, se describen algunos métodos numéricos que pueden ayudar a aproximar un resultado.

Una vez descritas las bases teóricas se describe brevemente el programa que se ha realizado en Python para simular las interacciones gravitatorias y a continuación se presentan los principales resultados que se han obtenido.

De esta forma se repasan e integran gran parte de los conocimientos sobre astrodinámica adquiridos y además se muestra una forma de elaborar un software que sustituya al ya citado My Solar System.

Capítulo 1

Teoría relevante

En el presente capítulo se sientan las bases teóricas que nos permiten desarrollar el software de simulación.

Primero se comienza describiendo brevemente las leyes de interacción gravitatoria clásicas para luego pasar a analizar los problemas de 2, 3 y N cuerpos.

A continuación se describen algunos métodos numéricos y se explica el que finalmente se ha empleado para llevar a cabo las simulaciones.

Por último, se describe la estructura y el funcionamiento interno del software.

1.1. Interacción gravitatoria

1.1.1. Cálculo de variaciones y notación lagrangiana

Se supone una curva $y(x)$ que une los puntos (x_1, y_1) y (x_2, y_2) . Si se define una integral

$$S = \int_{x_1}^{x_2} f[y(x), y'(x), x] dx \quad (1.1)$$

El camino para el cual esta integral es estacionaria viene dado por la conocida como ecuación de Euler-Lagrange [1].

$$\frac{\partial f}{\partial y} - \frac{d}{dx} \frac{\partial f}{\partial y'} = 0 \quad (1.2)$$

Ahora se considera una partícula que se mueve libremente en tres dimensiones sujeta a una fuerza conservativa $\vec{F}(\vec{r})$. La energía potencial y cinética de la partícula vienen dadas respectivamente por

$$T = \frac{1}{2}m(\dot{x}^2 + \dot{y}^2 + \dot{z}^2) \quad (1.3)$$

$$U = U(\vec{r}) = U(x, y, z). \quad (1.4)$$

Se define la función lagrangiana como [1]

$$\mathcal{L} = T - U. \quad (1.5)$$

De acuerdo al principio de Hamilton el camino real que sigue una partícula entre los tiempos t_1 y t_2 es tal que la integral de acción es estacionaria cuando se toma a lo largo del camino real [1]. Es decir,

$$S = \int_{t_1}^{t_2} \mathcal{L} dt \quad (1.6)$$

tiene que ser estacionario.

Se puede demostrar que para un sistema con n grados de libertad y n coordenadas generalizadas, y fuerzas que no son de ligadura que se pueden derivar de un potencial con la forma $U(q_1, \dots, q_n, t)$, el camino que sigue el sistema viene determinado por [1]

$$\frac{\partial \mathcal{L}}{\partial q_i} = \frac{d}{dt} \frac{\partial \mathcal{L}}{\partial \dot{q}_i} \quad [i = 1, \dots, n]. \quad (1.7)$$

1.1.2. El problema de los dos cuerpos

Ahora se considera un sistema de dos partículas puntuales con masas m_1 y m_2 sometidas únicamente a la su interacción mutua. Si se considera que dicha interacción es gravitatoria se tendrá que el potencial tiene la siguiente forma

$$U(\mathbf{r}_1, \mathbf{r}_2) = U(|\mathbf{r}_1 - \mathbf{r}_2|) = -\frac{Gm_1m_2}{|\mathbf{r}_1 - \mathbf{r}_2|}. \quad (1.8)$$

Donde \mathbf{r}_1 y \mathbf{r}_2 son las posiciones de las partículas medidas desde un sistema de referencia inercial.

Con el fin de aprovechar que el potencial depende únicamente de $|\mathbf{r}_1 - \mathbf{r}_2|$ se introduce una una nueva variable

$$\mathbf{r} = \mathbf{r}_1 - \mathbf{r}_2. \quad (1.9)$$

De esta forma la función lagrangiana del sistema puede definirse como

$$\mathcal{L} = \frac{1}{2}m_1\dot{\mathbf{r}}_1^2 + \frac{1}{2}m_2\dot{\mathbf{r}}_2^2 - U(r) \quad (1.10)$$

Si se aplica la ecuación (1.7) se obtienen las ecuaciones de movimiento de cada partícula.

$$\frac{Gm_1m_2}{r^2} = m_1\ddot{\mathbf{r}}_1^2 \quad (1.11)$$

$$-\frac{Gm_1m_2}{r^2} = m_2\ddot{\mathbf{r}}_2^2 \quad (1.12)$$

Para extraer datos de interés de esta interacción conviene pasar al sistema de referencia del centro de masas. Dicho sistema viene definido por

$$\mathbf{R} = \frac{m_1\mathbf{r}_1 + m_2\mathbf{r}_2}{M} \quad (1.13)$$

Donde M denota la suma de ambas masas.

De acuerdo a la Figura 1.1 los vectores \mathbf{r}_1 y \mathbf{r}_2 guardan la siguiente relación con el sistema de referencia del centro de masas.

$$\mathbf{r}_1 = \mathbf{R} + \frac{m_2}{M}\mathbf{r} \quad (1.14)$$

$$\mathbf{r}_2 = \mathbf{R} - \frac{m_1}{M}\mathbf{r} \quad (1.15)$$

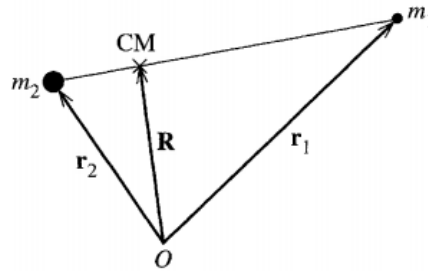


Figura 1.1: Esquema que indica la posición del centro de masas del sistema. Imagen extraída de [1].

De esta forma la energía cinética en el nuevo sistema de referencia es

$$T = \frac{1}{2}(M\dot{\mathbf{R}}^2 + \mu\dot{\mathbf{r}}^2). \quad (1.16)$$

Donde $\mu = \frac{m_1m_2}{M}$ es la masa reducida. Sustituyendo en la función lagrangiana se obtiene

$$\mathcal{L} = \frac{1}{2}M\dot{\mathbf{R}}^2 + \left(\frac{1}{2}\mu\dot{\mathbf{r}}^2 - U(r) \right) \quad (1.17)$$

Como se puede ver la función está ahora separada en dos partes. Una depende de la posición del centro de masas y la otra de la posición relativa de los cuerpos. Además, dado que se ha elegido el centro de masas como sistema de referencia se tendrá que $\dot{\mathbf{R}} = 0$. Esto simplifica aún más el problema dado que pasamos de tener que resolver dos partículas de forma simultánea a tener que resolver un problema equivalente que sólo involucra a una.

Teniendo el siguiente lagrangiano

$$\mathcal{L} = \frac{1}{2}\mu\dot{\mathbf{r}}^2 - U(r) = \frac{1}{2}\mu\dot{\mathbf{r}}^2 + \frac{Gm_1m_2}{r} \quad (1.18)$$

si se pasa a coordenadas polares se obtiene

$$\mathcal{L} = \frac{1}{2}\mu(\dot{r}^2 + r^2\dot{\theta}^2) + \frac{Gm_1m_2}{r}. \quad (1.19)$$

Aplicando la ecuación (1.17) se obtiene por un lado la ley de conservación del momento angular

$$\mu r^2 \dot{\theta} = \text{cte.} = l \quad (1.20)$$

y por otro lado una ecuación de movimiento

$$\mu\ddot{r} = \mu r \dot{\theta}^2 - \frac{Gm_1m_2}{r^2} \rightarrow \mu\ddot{r} = \frac{l^2}{\mu r^3} - \frac{Gm_1m_2}{r^2} \quad (1.21)$$

$$\mu\ddot{r} = -\frac{d}{dr} \left[-\frac{Gm_1m_2}{r} + \frac{l^2}{2\mu r} \right] \quad (1.22)$$

De esto se deduce que el movimiento radial es el de una partícula sometida a un potencial

$$U_{ef} = -\frac{Gm_1m_2}{r} + \frac{l^2}{2\mu r^2}. \quad (1.23)$$

que se denomina potencial efectivo.

Para conseguir más información acerca de las órbitas se multiplica la ecuación (1.22) a ambos lados por \dot{r} y se obtiene la siguiente ecuación

$$\mu\dot{r}\ddot{r} = -\frac{dr}{dt} \frac{dU_{ef}(r)}{dr} \quad (1.24)$$

$$\frac{d}{dt} \left(\frac{1}{2} \mu \dot{r}^2 \right) = - \frac{d}{dt} U_{ef}(r). \quad (1.25)$$

Esta ecuación es la ecuación de conservación de la energía.

$$E = \frac{1}{2} \mu \dot{r}^2 + U_{ef}(r) = \frac{1}{2} \mu \dot{r}^2 + \frac{1}{2} \mu r^2 \dot{\theta}^2 + U(r) \quad (1.26)$$

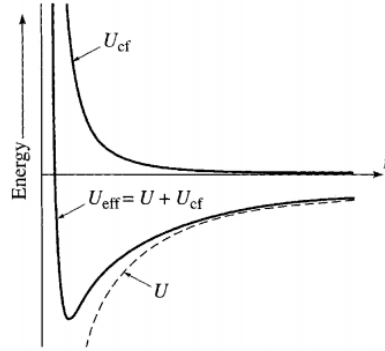


Figura 1.2: Gráfica del potencial efectivo con la energía y la distancia radial en los ejes. Imagen extraída de [1].

Tal y como se puede ver en la Figura 1.2 si la energía total de la órbita coincide con el mínimo del potencial efectivo la distancia radial de la órbita será constante, es decir, la velocidad radial será nula.

Por otro lado, si la energía es superior a dicho mínimo, pero inferior a 0 dicha órbita oscilará entre dos valores de r . Por lo que la velocidad radial será no nula, pero la órbita seguirá estando acotada.

Por último, en los casos en que la $E \geq 0$ la órbita tendrá un valor mínimo de r , pero no un máximo por lo que la órbita no estará acotada.

Esto está relacionado con la excentricidad de las órbitas (ϵ). De hecho, se puede demostrar que la excentricidad y la energía de la órbita están relacionadas mediante la siguiente ecuación [1]

$$E = \frac{(Gm_1m_2)^2 \mu}{2l^2} (\epsilon^2 - 1). \quad (1.27)$$

Esto implica que para $\epsilon < 1$ la energía tomará valores negativos y se tendrán órbitas acotadas. En concreto, si $\epsilon = 0$ se tendrá el mínimo de energía correspondiente a la órbita circular. Para excentricidades $\epsilon = 1$ se tiene $E = 0$ y la órbita será parabólica. Como última alternativa se tendría que la excentricidad sea mayor que 1 y que la energía sea superior a 0. Esto daría como resultado una órbita hiperbólica.

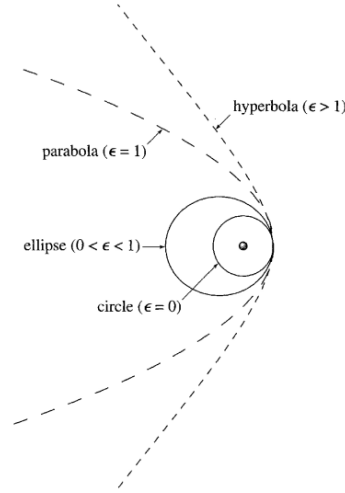


Figura 1.3: Excentricidad y energía de cada tipo de órbita. Imagen extraída de [1].

En el apartado de resultados se demuestra que el software es capaz de reproducir todo lo que se acaba de enunciar.

1.1.3. El problema de los 3 cuerpos

Se supone un sistema con tres masas m_1 , m_2 y m_3 situadas en las posiciones \mathbf{r}_1 , \mathbf{r}_2 y \mathbf{r}_3 desde un sistema de referencia inercial. La función lagrangiana de este sistema es

$$\mathcal{L} = \frac{1}{2} (m_1 \dot{\mathbf{r}}_1^2 + m_2 \dot{\mathbf{r}}_2^2 + m_3 \dot{\mathbf{r}}_3^2) + \left(\frac{Gm_1 m_2}{|\mathbf{r}_1 - \mathbf{r}_2|} + \frac{Gm_1 m_3}{|\mathbf{r}_1 - \mathbf{r}_3|} + \frac{Gm_3 m_2}{|\mathbf{r}_3 - \mathbf{r}_2|} \right). \quad (1.28)$$

Si se aplica la ecuación (1.7) a esta función se obtienen las siguientes ecuaciones de movimiento para cada masa.

$$\ddot{\mathbf{r}}_1 = -\frac{Gm_2}{|\mathbf{r}_1 - \mathbf{r}_2|^3} (\mathbf{r}_1 - \mathbf{r}_2) - \frac{Gm_3}{|\mathbf{r}_1 - \mathbf{r}_3|^3} (\mathbf{r}_1 - \mathbf{r}_3) \quad (1.29)$$

$$\ddot{\mathbf{r}}_2 = \frac{Gm_1}{|\mathbf{r}_1 - \mathbf{r}_2|^3} (\mathbf{r}_1 - \mathbf{r}_2) + \frac{Gm_3}{|\mathbf{r}_3 - \mathbf{r}_2|^3} (\mathbf{r}_3 - \mathbf{r}_2) \quad (1.30)$$

$$\ddot{\mathbf{r}}_3 = \frac{Gm_1}{|\mathbf{r}_1 - \mathbf{r}_3|^3} (\mathbf{r}_1 - \mathbf{r}_3) - \frac{Gm_2}{|\mathbf{r}_3 - \mathbf{r}_2|^3} (\mathbf{r}_3 - \mathbf{r}_2) \quad (1.31)$$

A diferencia del problema de dos cuerpos, no se puede obtener una solución analítica general para estas ecuaciones. Sí se puede, en cambio, obtener una solución particular para ciertos casos como se va a ver a continuación.

Puntos de Lagrange

Se suponen dos masas m_1 y m_2 mucho mayores que la tercera (m_3) que se mueven con una velocidad angular constante ω alrededor de su CM en trayectoria circular.

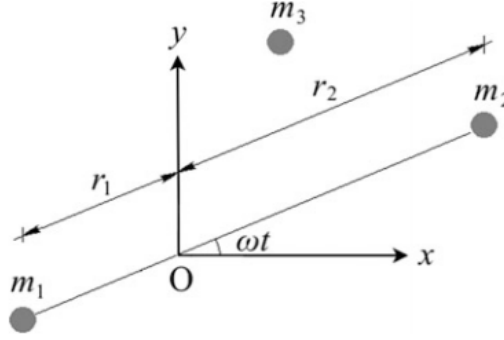


Figura 1.4: Esquema del problema de los 3 cuerpos simplificada. Imagen extraída de [4].

Si se sitúa el origen del sistema de referencia no inercial en el CM las fuerzas que actúan sobre la tercera masa serán

$$\mathbf{F}_3 = \frac{Gm_1m_3}{|\mathbf{r}_1 - \mathbf{r}_3|^3}(\mathbf{r}_1 - \mathbf{r}_3) - \frac{Gm_2m_3}{|\mathbf{r}_3 - \mathbf{r}_2|^3}(\mathbf{r}_3 - \mathbf{r}_2) - 2m_3(\omega \times \mathbf{v}) - m_3\omega \times (\omega \times \mathbf{r}). \quad (1.32)$$

Haciendo los siguientes cambios de variables se puede llegar a una expresión para las ecuaciones de movimiento de la masa m_3 [2].

$$M = m_1 + m_2 \quad (1.33)$$

$$x_2 = x_1 + |\mathbf{r}_1 - \mathbf{r}_2| = x_1 + r_{12} \quad (1.34)$$

$$\pi_1 = \frac{m_1}{m_1 + m_2} \quad (1.35)$$

$$\pi_2 = \frac{m_2}{m_1 + m_2} \quad (1.36)$$

$$\ddot{x} - 2\omega\dot{y} - \omega^2x = -\frac{GM_1}{r_1^3}(x + \pi_2r_{12}) - \frac{GM_2}{r_2^3}(x - \pi_1r_{12}) \quad (1.37)$$

$$\ddot{y} + 2\omega\dot{x} - \omega^2y = -\frac{GM_1}{r_1^3}y - \frac{GM_2}{r_2^3}y \quad (1.38)$$

$$\ddot{z} = -\frac{GM_1}{r_1^3}z - \frac{GM_2}{r_2^3}z \quad (1.39)$$

Como ya se ha mencionado estas ecuaciones no tienen solución analítica, pero se pueden hallar soluciones particulares suponiendo que la masa m_3 se encuentra en

reposo, es decir, cuando todas las componentes de la velocidad y la aceleración sean nulas. Esto implicaría que para un observador inercial la masa m_3 se movería en órbitas circulares alrededor de las otras dos masas [2].

Los puntos en los que m_3 está en reposo se denominan puntos de Lagrange. La posición de dos ellos viene dada por [2]

$$x = \frac{r_{12}}{2} - \pi_2 r_{12} \tag{1.40}$$

$$y = \pm \frac{\sqrt{3}}{2} r_{12}. \tag{1.41}$$

Los otros tres puntos se tienen que obtener resolviendo numéricamente la siguiente ecuación 2

$$\frac{1 - \pi_2}{|\xi + \pi_2|^3} (\xi + \pi_2) + \frac{\pi_2}{|\xi + \pi_2 - 1|^3} (\xi + \pi_2 - 1) - \xi = 0. \tag{1.42}$$

Donde $\xi = \frac{x}{r_{12}}$.

Para el sistema Tierra-Luna los puntos están situados tan y como se puede ver en la Figura 1.5.

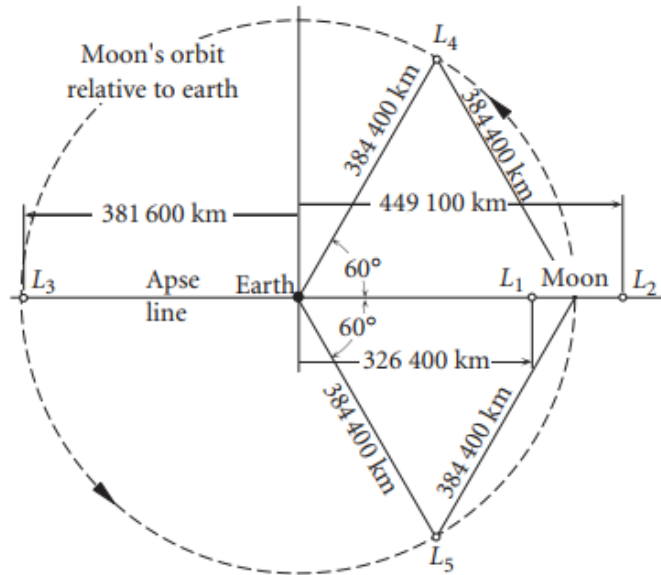


Figura 1.5: Posición de los puntos del Lagrange del sistema Tierra-Luna. Imagen extraída de [2].

Los puntos que se hallan sobre la línea que une la dos masas más grandes son muy interesantes desde el punto de vista de la astrodinámica dado que es posible insertar naves espaciales que mantengan una órbita cuasiperiódica alrededor de

ellos. Dependiendo de las condiciones iniciales a la hora de insertar la nave las órbitas serán de Halo o Lissajous [3].

Simular estas órbitas adecuadamente es otro de los objetivos de este trabajo, pero para ello no se resolverán las ecuaciones de movimiento desde el sistema de referencia no inercial (ecuaciones 1.37, 1.38, 1.39) sino que se resolverán directamente las ecuaciones desde el sistema de referencia inercial y luego se hará un cambio de coordenadas al sistema de referencia no inercial mediante el siguiente cambio de coordenadas

$$x' = x \cos(-\omega t) + y \sin(-\omega t) \quad (1.43)$$

$$y' = x \sin(-\omega t) + y \cos(-\omega t) \quad (1.44)$$

$$z' = z \quad (1.45)$$

Donde ω es la velocidad angular a la que orbitan las dos masas más grandes alrededor de su centro de masas y las coordenadas primadas indican que se observa desde el sistema de referencia no inercial.

1.1.4. El problema de N cuerpos

Se supone un sistema con n partículas de masas $m_1, m_2 \dots m_n$ sometidas sólo a su interacción gravitatoria mutua. La lagrangiana de dicho sistema será la siguiente

$$\mathcal{L} = \sum_{i=1}^n \frac{1}{2} m_i \dot{\mathbf{r}}_i^2 + \sum_{\substack{i,j=1 \\ i \neq j}}^n \frac{G m_i m_j}{|\mathbf{r}_i - \mathbf{r}_j|} \quad (1.46)$$

Si se aplica la ecuación (1.7) las ecuaciones de movimiento de cada masa serán

$$\ddot{\mathbf{r}}_i = G \sum_{\substack{j=1 \\ i \neq j}}^n \frac{m_j}{|\mathbf{r}_i - \mathbf{r}_j|^3} (\mathbf{r}_i - \mathbf{r}_j). \quad (1.47)$$

La forma matricial de este sistema de ecuaciones sería

$$\begin{pmatrix} \ddot{\mathbf{r}}_1 \\ \vdots \\ \ddot{\mathbf{r}}_n \end{pmatrix} = \begin{pmatrix} \sum_{j \neq 1}^n \frac{G m_j}{r_{1j}^3} & -\frac{G m_2}{r_{12}^3} & \dots & -\frac{G m_n}{r_{1n}^3} \\ -\frac{G m_1}{r_{21}^3} & \sum_{j \neq 2}^n \frac{G m_j}{r_{2j}^3} & \dots & -\frac{G m_n}{r_{2n}^3} \\ \vdots & \vdots & \ddots & \vdots \\ -\frac{G m_1}{r_{n1}^3} & \dots & -\frac{G m_{n-1}}{r_{n,n-1}^3} & \sum_{j \neq n}^n \frac{G m_j}{r_{nj}^3} \end{pmatrix} \begin{pmatrix} \mathbf{r}_1 \\ \vdots \\ \mathbf{r}_n \end{pmatrix}. \quad (1.48)$$

La resolución de este problema es el principal objetivo de este trabajo y del software que se ha creado, pero al igual que el problema de los 3 cuerpos no tiene una solución analítica general. Esto hace necesario resolver el problema a través de métodos numéricos.

1.2. Método de Runge-Kutta de orden 4

Hay multitud de métodos numéricos que permiten integrar las órbitas en un problema de N Cuerpos. Como el método de Gauss-Jackson, el de salto de rana, el de Hermite o el de Runge-Kutta. El software implementa el método de Runge-Kutta de orden 4 con un paso adaptativo para cada cuerpo.

La principal desventaja del método de Runge-Kutta es que se trata de un método no simpléctico, es decir, la energía atribuible a la órbita va a tener un error que va a aumentar con el tiempo. Pero, al mismo, tiempo, para periodos de simulación cortos ofrece unos errores muy bajos comparados con otros métodos debido a que se trata de un método de cuarto orden. Tal y como se puede ver en la Figura 1.6 estos errores se hacen considerables sólo a partir de 30 periodos orbitales.

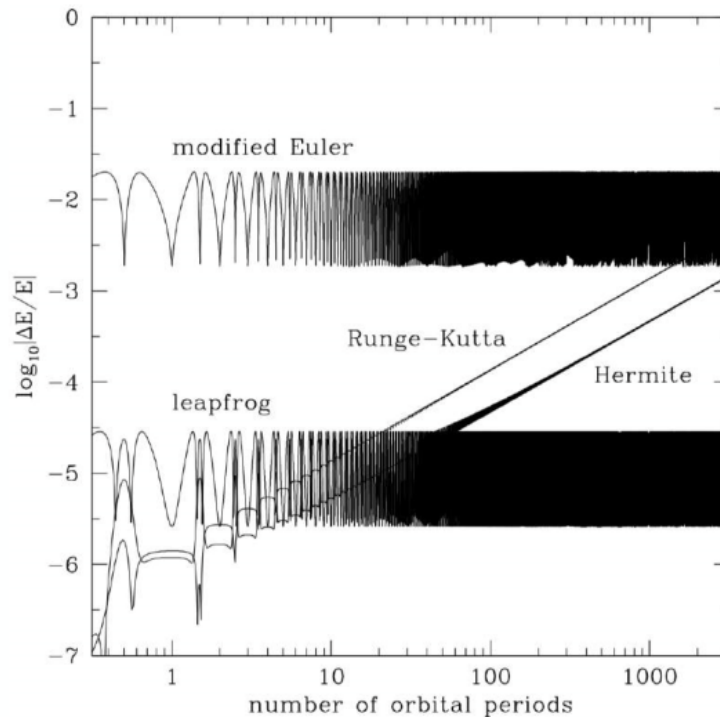


Figura 1.6: Error en la energía de la órbita frente a periodos orbitales para diferentes métodos de integración. Imagen extraída de [5].

A pesar de los citados problemas se ha elegido este método porque el objetivo del software no es hacer simulaciones a largo plazo y además su implementación es muy sencilla tal y como se verá a continuación.

Para conseguir métodos de orden superior a 2, como el de Runge-Kutta, hay que emplear series de Taylor [6]. Se supone un vector que nos da el estado del sistema en un instante t_n , $y(t_n)$ y una función tal que $\dot{y}(t) = f(y(t), t)$. El estado en un instante de tiempo posterior $t_n + \Delta t$ será [6]

$$y(t_n + \Delta t) = y(t_n) + \Delta t f(y(t_n), t_n) + \frac{\Delta t^2}{2} \frac{df(y(t_n), t_n)}{dt} + \dots \quad (1.49)$$

Tal y como se puede comprobar esto exige conocer las derivadas de la función. Esto en ocasiones puede ser algo desconocido, pero hay una solución: aproximarlas por diferencias numéricas. Por ejemplo, para deducir el método de Runge-Kutta de orden 2 se parte de la siguiente función

$$K_1 = f_n = f(y(t_n), t_n) \quad (1.50)$$

El estado del sistema en el instante $t_n + \Delta t$ es

$$y(t_n + \Delta t) \approx \Delta t K_1 \quad (1.51)$$

El gradiente de función se aproxima mediante

$$K_2 = f(y(t_n) + \Delta t K_1, t_n + \Delta t) \quad (1.52)$$

Aplicando la regla del trapecio se obtiene el valor aproximado de y_{n+1}

$$y_{n+1} = y_n + \frac{\Delta t}{2}(K_1 + K_2). \quad (1.53)$$

El método de Runge-Kutta empleado es el de cuarto orden, que mejora la precisión del que acabamos de deducir incluyendo dos cálculos del gradiente en $\Delta t/2$. Los valores de función de dicho método son [6]

$$K_1 = f(y(t_n), t_n) \quad (1.54)$$

$$K_2 = f\left(y(t_n) + \frac{K_1}{2}\Delta t, t_n + \frac{\Delta t}{2}\right) \quad (1.55)$$

$$K_3 = f\left(y(t_n) + \frac{K_2}{2}\Delta t, t_n + \frac{\Delta t}{2}\right) \quad (1.56)$$

$$K_4 = f(y(t_n) + K_3\Delta t, t_n + \Delta t) \quad (1.57)$$

Aplicando la regla de Simpson estos valores nos permiten aproximar el valor de la función en un instante de tiempo posterior.

$$y_{n+1} = y(t_n) + \frac{\Delta}{6}(K_1 + 2K_2 + 2K_3 + K_4) = y(t_n + \Delta t) + O(\Delta t^5). \quad (1.58)$$

Además, para mejorar la precisión del método se puede implementar un control de paso adaptativo. Para ello es necesario calcular en cada paso el error de truncamiento que se comete. Esto se hace calculado el valor de la función en $t_n + \Delta t$ mediante un paso completo y dos medios pasos [7].

$$y_{n+1} = RK4(y_n, \Delta t) \quad (1.59)$$

$$y'_{n+1} = RK4(RK4(y_n, \Delta t/2)) \quad (1.60)$$

Si se restan estas dos cantidades se obtiene el error de truncamiento

$$\Delta_1 = |y_{n+1} - y'_{n+1}|. \quad (1.61)$$

Si se quiere mantener este resultado dentro de la precisión deseada Δ_0 se habrá de cambiar la magnitud del paso en cada iteración del método. Para ello se calculará cada vez Δ_1 y se cambiará el valor de Δt de acuerdo con la siguiente ecuación [7]

$$h_0 = h_1 \left| \frac{\Delta_0}{\Delta_1} \right|^\alpha \begin{cases} \alpha = 0,2 & \text{si } \Delta_0 > \Delta_1 \\ \alpha = 0,25 & \text{si } \Delta_0 \leq \Delta_1 \end{cases} \quad (1.62)$$

Donde h_1 es el paso temporal empleado inicialmente y h_0 el corregido.

1.2.1. Aplicación al problema de N Cuerpos

Todo lo que se acaba de explicar tiene su aplicación concreta al problema de los N Cuerpos en el presente trabajo. Se tienen las ecuaciones de movimiento indicadas en (1.34), pero el método de Runge-Kutta descrito sólo permite resolver ecuaciones de primer orden. Es por esto que lo que habrá que hacer es resolver simultáneamente los dos siguiente sistemas de ecuaciones

$$\dot{\mathbf{r}}_i = \mathbf{v}_i \quad (1.63)$$

$$\dot{\mathbf{v}}_i = G \sum_{\substack{j=1 \\ i \neq j}} \frac{m_j}{|\mathbf{r}_i - \mathbf{r}_j|^3} (\mathbf{r}_i - \mathbf{r}_j). \quad (1.64)$$

La forma matricial más adecuada para escribir esto y para implementarlo es la siguiente.

$$\begin{pmatrix} \dot{x}_1 \\ \vdots \\ \dot{x}_n \\ \dot{y}_1 \\ \vdots \\ \dot{y}_n \\ \dot{z}_1 \\ \vdots \\ \dot{z}_n \\ \dot{v}_{1x} \\ \vdots \\ \dot{v}_{nx} \\ \vdots \\ \dot{v}_{1y} \\ \vdots \\ \dot{v}_{ny} \\ \dot{v}_{1z} \\ \vdots \\ \dot{v}_{nz} \end{pmatrix} = \begin{pmatrix} 0 & \dots & \dots & 0 & 1 & 0 & \dots & 0 \\ 0 & \dots & \dots & 0 & 0 & 1 & \dots & 0 \\ \vdots & \dots & \dots & \vdots & \vdots & \dots & \ddots & \vdots \\ 0 & \dots & \dots & 0 & 0 & 0 & \dots & 1 \\ \sum_{j \neq 1}^n \frac{Gm_j}{r_{1j}^3} & -\frac{Gm_2}{r_{12}^3} & \dots & -\frac{Gm_n}{r_{1n}^3} & 0 & \dots & \dots & 0 \\ -\frac{Gm_1}{r_{21}^3} & \sum_{j \neq 2}^n \frac{Gm_j}{r_{2j}^3} & \dots & -\frac{Gm_n}{r_{2n}^3} & 0 & \dots & \dots & 0 \\ \vdots & \vdots & \ddots & \vdots & \vdots & \dots & \dots & \vdots \\ -\frac{Gm_1}{r_{n1}^3} & \dots & -\frac{Gm_{n-1}}{r_{n,n-1}^3} & \sum_{j \neq n}^n \frac{Gm_j}{r_{nj}^3} & 0 & \dots & \dots & 0 \end{pmatrix} \begin{pmatrix} x_1 \\ \vdots \\ x_n \\ y_1 \\ \vdots \\ y_n \\ z_1 \\ \vdots \\ z_n \\ v_{1x} \\ \vdots \\ v_{nx} \\ \vdots \\ v_{1y} \\ \vdots \\ v_{ny} \\ v_{1z} \\ \vdots \\ v_{nz} \end{pmatrix} \tag{1.65}$$

Donde los vectores verticales tienen dimensión $6n$ siendo n el número de cuerpos y la matriz es una matriz $6n \times 6n$.

Las condiciones iniciales del problema se introducirán con un vector como el de la derecha de la ecuación 1.65. Además se aportará un vector con un paso de tiempo inicial para cada cuerpo, \mathbf{h} y un nivel de tolerancia ϵ .

En cada iteración se multiplica el vector de entrada por el nivel de tolerancias y se selecciona para cada cuerpo el error máximo que se puede admitir Δ_0 . Tras esto, se aplica a cada cuerpo el control de paso que se ha explicado en la ecuación 1.62 y se obtiene el error de truncamiento Δ_1 . Con estas dos cantidades calculadas se puede proceder a calcular el paso temporal adecuado para cada cuerpo \mathbf{h}' .

Con el paso temporal ya calculado para cada cuerpo se puede pasar a aplicar el método de Runge-Kutta para resolver el sistema. Para ello se calculan \mathbf{K}_1 , \mathbf{K}_2 , \mathbf{K}_3 y \mathbf{K}_4 como sigue

$$\mathbf{K}_1 = W \cdot \mathbf{r}_n \quad (1.66)$$

$$\mathbf{K}_2 = W \cdot \mathbf{r}_n + \mathbf{h}' \cdot \frac{\mathbf{K}_1}{2} \quad (1.67)$$

$$\mathbf{K}_3 = W \cdot \mathbf{r}_n + \mathbf{h}' \cdot \frac{\mathbf{K}_2}{2} \quad (1.68)$$

$$\mathbf{K}_4 = W \cdot \mathbf{r}_n + \mathbf{h}' \cdot \mathbf{K}_3 \quad (1.69)$$

Donde W es la matriz del lado derecho de la ecuación 1.65 y \mathbf{r}_n es el vector del lado derecho.

Con esas cantidades calculadas se puede calcular \mathbf{r}_{n+1} que actuará como vector de entrada en el siguiente paso.

$$\mathbf{r}_{n+1} = \mathbf{r}_n + \frac{\mathbf{h}'}{6} \cdot (\mathbf{K}_1 + \mathbf{K}_2 + \mathbf{K}_3 + \mathbf{K}_4) \quad (1.70)$$

Repitiendo este proceso de forma iterativa permite resolver el problema de N Cuerpos para el tiempo final que se desee.

1.3. Estructura del software

En este último apartado se indica cómo está estructurado el software de simulación. Por un lado se explica cómo emplear la interfaz gráfica y las opciones que ofrece y por otro se explica como funciona el aspecto computacional.

1.3.1. Interfaz gráfica

La interfaz gráfica y el método que permite mostrar la animación se hallan en el código llamado *n_body_inter.py*. Este código consiste en una clase llamada **n_body_simulator** que permite construir con ayuda de la librería tkinter una interfaz gráfica desde la que lanzar fácilmente las simulaciones numéricas.

Al ejecutar *n_body_inter.py* aparece una ventana como la de la Figura 1.7. Al desplegar la caja de selección hay dos opciones: simulación estándar u órbitas alrededor de L_2 .

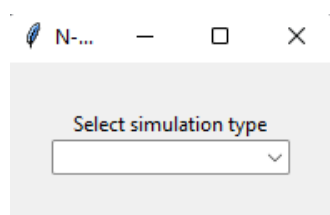


Figura 1.7: Ventana para seleccionar el tipo de simulación.

Si se elige la primera opción se le pedirá al usuario el número de cuerpos que desea simular. Por ejemplo si se quisiera simular todos los planetas del Sistema Solar incluyendo a Plutón habría que escribir "10". De esta forma se desplegarían una serie de cajas en las que habría que introducir las condiciones iniciales de cada cuerpo como se ve en la Figura 1.8.

The screenshot shows a window titled "N-Body Simulator". On the left, there is a dropdown menu for "Select simulation type" with "Standard simulation" selected. Next to it is a text input field for "Enter number of bodies" with the value "10" and an "Accept" button. The main area contains a table with the following columns: Name, Mass, x, y, z, Vx, Vy, Vz, Steps, Error, Iterations, and Simulation name. The table is currently empty. At the bottom right, there are "Save" and "Import file" buttons.

Figura 1.8: Ventana para introducir las condiciones iniciales.

Existe la opción de introducir los datos a mano o importar un archivo .txt dándole al botón Import File. Las primeras 3 líneas de dicho documento contendrán el error que se busca para la simulación, el número de iteraciones y el nombre del GIF que se va a guardar con la animación. Las siguientes líneas contendrán el nombre, masa en kilogramos, posiciones en metros, velocidades en metros segundo y paso temporal en segundos de cada cuerpo. Esto se puede ver en la Figura 1.9.

```

Error 1e-4
Iterations 100000
Name SolarSystem
Sol 2e30 0 0 0 0 0 1.0
Mercurio 3.285e23 58e9 0 0 0 -47.85e3 0 2.0
Venus 4.867e24 108.2e9 0 0 0 35e3 0 2.0
Tierra 5.972e24 150e9 0 0 0 30e3 0 2.0
Marte 6.39e23 227.9e9 0 0 0 24.1e3 0 2.0
Jupiter 1.898e27 0 778.5e9 0 -13.1e3 0 0 5.0
Saturno 5.683e26 -1434e9 0 0 0 -9.67e3 0 5.0
Urano 8.681e25 2871e9 0 0 0 6.81e3 0 10.0
Neptuno 1.024e26 -4495e9 0 0 0 -5.477e3 0 10.0
Pluton 1.25e22 6984e9 0 2135e9 0 4.7e3 0 10.0

```

Figura 1.9: Ejemplo del formato del documento .txt.

Una vez se cargan los datos hay que pulsar "Save" para que el software guarde los valores introducidos. Al hacer esto se abrirá un diálogo en el que se podrá elegir la carpeta en la que se quiere guardar el GIF. Una vez hecho esto hay que pulsar el botón "Simulate" que aparecerá y esperar a que aparezca el GIF con la simulación animada.

Por otro lado, si se escoge la opción de órbitas alrededor de L_2 aparece una ventana como la que se ve en la Figura 1.10.

The screenshot shows a window titled "N-Body Simulator" with standard window controls (minimize, maximize, close). Inside the window, there is a form with the following elements:

- A dropdown menu labeled "Select simulation type" with "Orbits around L2" selected.
- A text input field labeled "Number of steps:".
- A text input field labeled "Step size:".
- A dropdown menu labeled "Orbit type:".
- A text input field labeled "Simulation name:".
- A "Save" button.

Figura 1.10: Ventana para introducir los datos de las órbitas alrededor de L_2 .

Tras introducir el número de pasos, el tamaño del paso, el tipo de órbita y el nombre de la simulación se pulsa Save y aparece un diálogo donde de nuevo hay que elegir dónde guardar el GIF. Tras esto se pulsa el botón Run y se espera que el GIF aparezca.

1.3.2. Cálculo numérico

Todas funciones que permiten realizar las simulaciones a las que se llama desde la interfaz gráfica están en *n_cuerpos.py*.

Para el caso de la simulación estándar se emplea la función **orbita** cuyos inputs son el error, tamaño del stepsize para cada cuerpo, el número de iteraciones, las condiciones iniciales de cada cuerpo, el número de cuerpos y las masas de cada cuerpo.

Con estos inputs la función calcula en cada iteración el stepsize adecuado con la función **checkStep** y procede a aplicar el método de Runge-Kutta de orden 4 con la función **rk4**. Los resultados de todas las iteraciones se almacenan en un solo vector que sirve como input al método **draw_results** del código *n_body_inter.py*.

Para dibujar las órbitas de halo y Lissajous se tiene la función **lissajousOrbit** cuyos inputs son el número iteraciones, el tamaño del paso y el tipo de órbita. Esta función no recalcula el paso temporal dado que es necesario que la resolución de las ecuaciones sea simultánea. Simplemente resuelve el problema de 3 cuerpos iterativamente con la función **rk4** y una vez ha finalizado realiza un cambio de sistema de referencia. De esta forma se obtienen dos animaciones, una que es el problema de los 3 cuerpos desde un sistema de referencia inercial y otra que es la órbita del tercer cuerpo desde un sistema de referencia rotatorio. Esta última será la órbita de Lissajous o de halo.

Capítulo 2

Principales resultados

A continuación se presentan los principales resultados que se han obtenido con el software de simulación. Salvo las condiciones iniciales de la sección referente al problema de los 3 cuerpos, el resto de condiciones iniciales vienen en los documentos .txt anexos.

2.1. Simulación del problema de dos cuerpos

Como primera prueba para el software se planteó que fuera capaz de reproducir adecuadamente las 3 órbitas que se pueden obtener en el problema de dos cuerpos.

2.1.1. Órbita circular

Para la simulación de la órbita circular se tomaron el Sol y un cuerpo arbitrario de masa $5 \cdot 10^{22}$ situado a $75 \cdot 10^9$ metros del Sol. Para que la órbita sea circular la velocidad tendrá que ser por lo tanto

$$v = \sqrt{\frac{GM_{\odot}}{r}} = 42,17 \cdot 10^4 \quad (2.1)$$

El resultado de esta simulación se puede ver en la Figura 2.1.

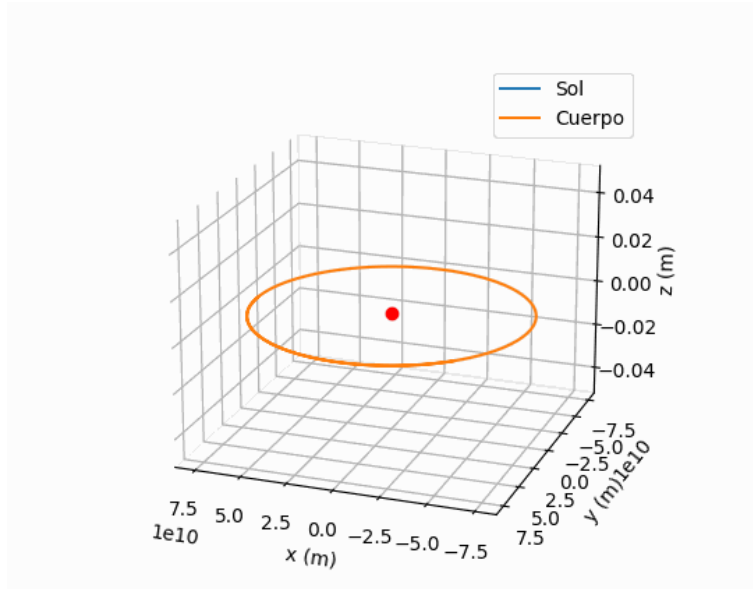


Figura 2.1: Resultado de simular la órbita circular de un cuerpo alrededor del Sol. El tiempo necesario para obtener este resultado fue de 48,47 segundos.

2.1.2. Órbita elíptica

Para simular la órbita elíptica se escogió un cuerpo que tiene una órbita muy excéntrica alrededor del Sol como es el cometa Halley.

Según se puede leer en [8] el 9 de febrero de 1986 el cometa Halley pasó por su perihelio a 87,8 millones de kilómetros del Sol a una velocidad de 54,55 km/s. Introduciendo estas condiciones iniciales se obtuvo la órbita que se puede ver en la Figura 2.2.

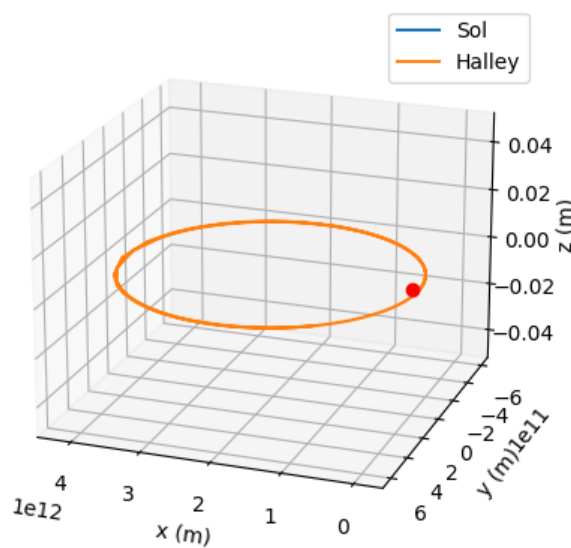


Figura 2.2: Resultados de simular la órbita del cometa Halley alrededor del Sol. El tiempo necesario para obtener este resultado fue de 86,93 segundos.

Tal y como se puede ver la órbita obtenida es muy excéntrica dado que el Sol está muy lejos del centro de la órbita.

Además de esta simulación también se realizó una simulación de la órbita del cometa Halley pero considerando al mismo tiempo todos los planetas del Sistema Solar y Plutón. El resultado de dicha simulación puede verse en la Figura 2.3.

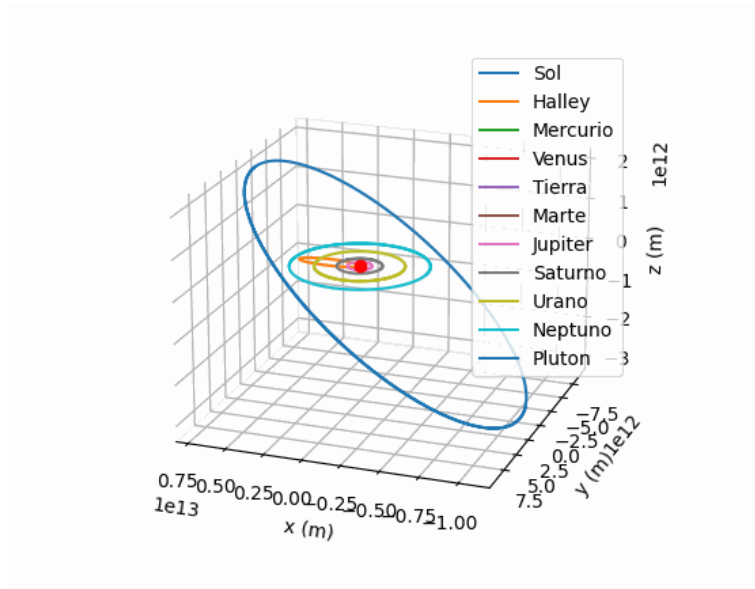


Figura 2.3: Resultado de simular la órbita del cometa Halley junto con el resto de planetas del Sistema Solar alrededor del Sol. El tiempo de simulación fue de 185.35 segundos.

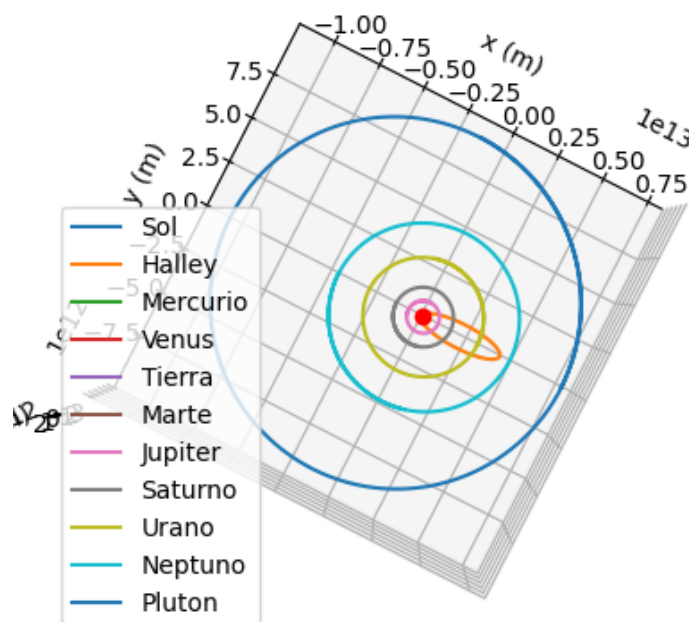


Figura 2.4: Resultado de simular la órbita del cometa Halley junto con el resto de planetas del Sistema Solar alrededor del Sol.

Se puede comprobar que la órbita del cometa Halley sigue siendo elíptica aun a pesar de la influencia del resto de planetas. Esto se debe a que no ha pasado cerca de ningún otro planeta durante el tiempo de simulación y por lo tanto su trayectoria no se ha visto afectada. Si se siguiera corriendo la simulación el probable que se acabara viendo una variación en su trayectoria.

2.1.3. Órbita hiperbólica

Para la órbita hiperbólica se tomó como ejemplo Oumuamua. Según la página Horizons del JPL de la NASA en 2016 este cuerpo se hallaba a 10 unidades astronómicas (1500 millones de kilómetros) del Sol y tenía una velocidad de 29,5 km/s. Estas 10 unidades astronómicas se tomaron en la dirección z por encima de la eclíptica y dado que el cuerpo no se dirigía directo al Sol se supuso que su posición en x se hallaba a 200 millones de kilómetros del Sol. De esta forma se obtuvo la Figura

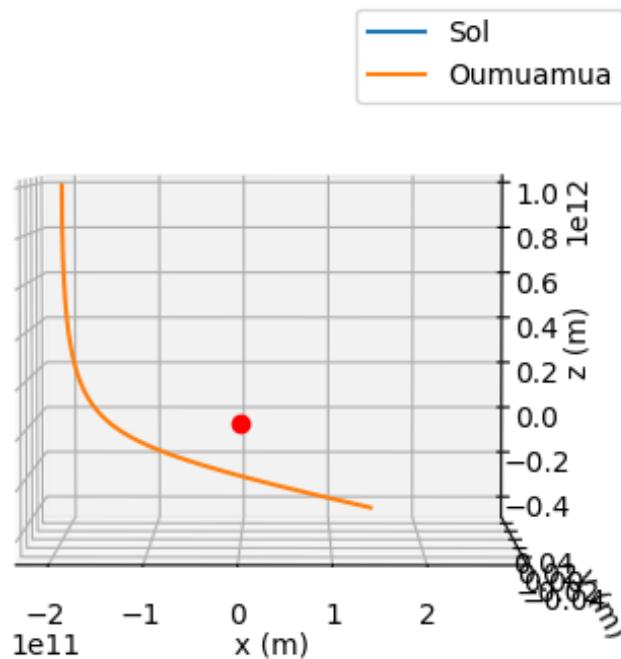


Figura 2.5: Resultado de simular la órbita aproximada de Oumuamua alrededor del Sol. El tiempo que se ha necesitado para esta simulación ha sido de 38,76 segundos.

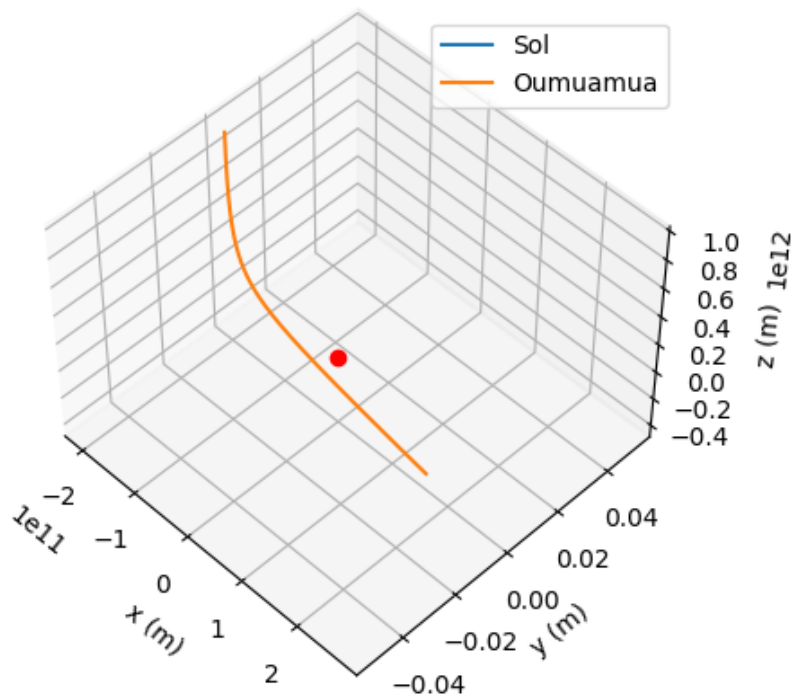


Figura 2.6: Resultado de simular la órbita aproximada de Oumuamua alrededor del Sol.

Al igual que con el cometa Halley dado que se está tratando con cuerpos reales se simuló la órbita de este cuerpo considerando en un primer caso todos los planetas y Plutón y en un segundo caso los 6 planetas más cercanos al Sol.

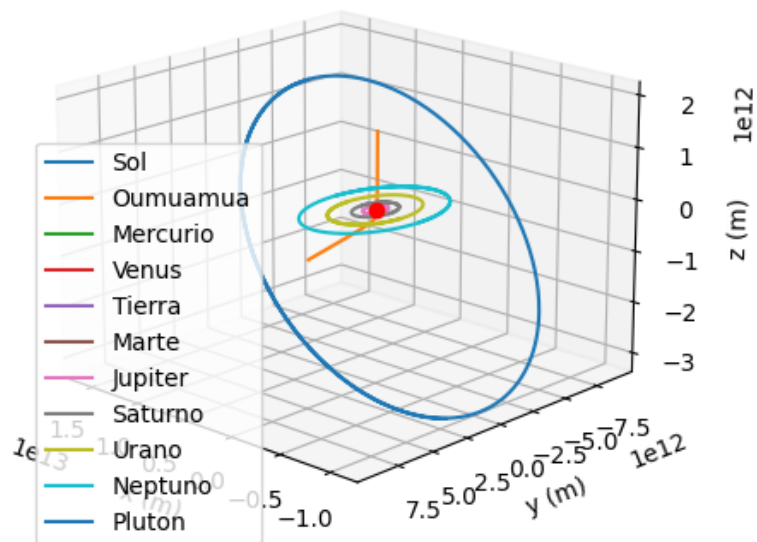


Figura 2.7: Simulación de la órbita de Oumuamua junto con todos los planetas del Sistema Solar y Plutón. El tiempo necesario para esta simulación ha sido de 171.68 segundos.

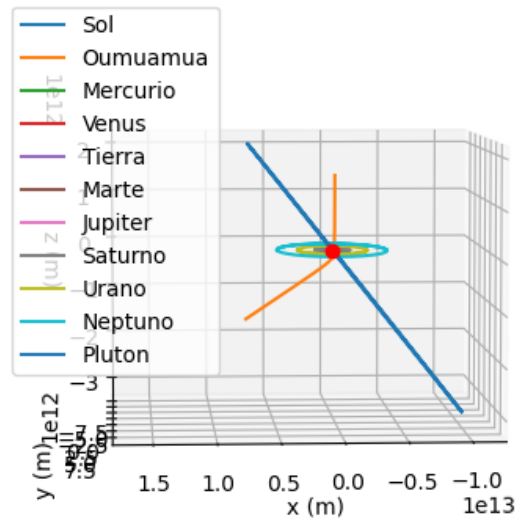


Figura 2.8: Simulación de la órbita de Oumuamua junto con todos los planetas del Sistema Solar y Plutón.

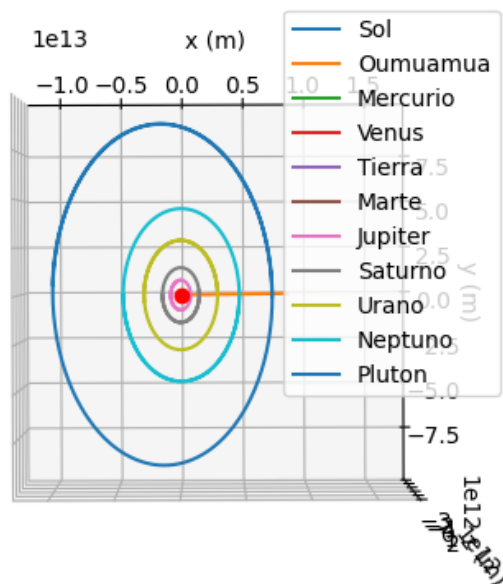


Figura 2.9: Simulación de la órbita de Oumuamua junto con todos los planetas del Sistema Solar y Plutón.

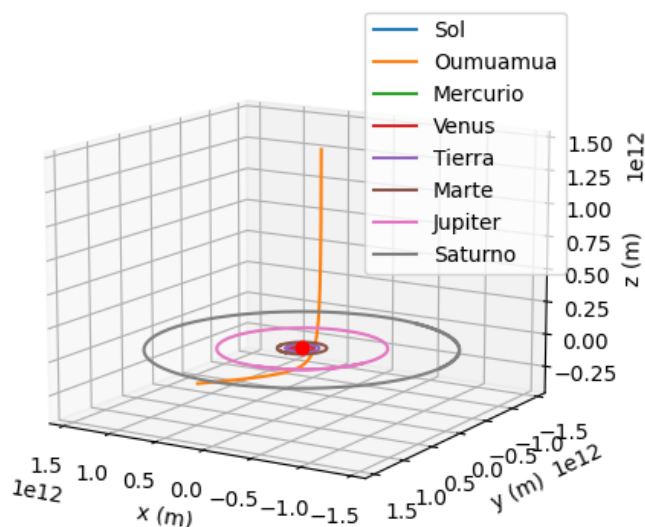


Figura 2.10: Simulación de Oumumua junto con los 6 planetas más cercanos al Sol. El tiempo de simulación fue de 101.52 segundos.

En ambos casos se ve que la órbita sigue siendo hiperbólica a pesar de la interacción con el resto de cuerpos. Esto de nuevo se debe a que Oumuamua no pasa en nuestra simulación lo suficientemente cerca de ningún planeta como para que su trayectoria se vea afectada de forma significativa.

2.1.4. Órbita parabólica

Para obtener la órbita parabólica se supuso que el cuerpo en cuestión tenía la misma posición que en el caso de Oumuamua, pero con una velocidad tal que la órbita fuera parabólica.

La energía de este tipo de órbitas es nula. Esto implica que la velocidad de dichas órbitas viene dada por

$$\frac{v^2}{2} - \frac{GM_{\odot}}{r} = 0 \rightarrow v = \sqrt{\frac{GM_{\odot}}{r}}. \tag{2.2}$$

Con las condiciones iniciales que se ha dado a Oumumua necesitaríamos una velocidad en z de $-16,17$ km/s para conseguir una órbita parabólica. Simulando esto se obtiene la Figura 2.11.

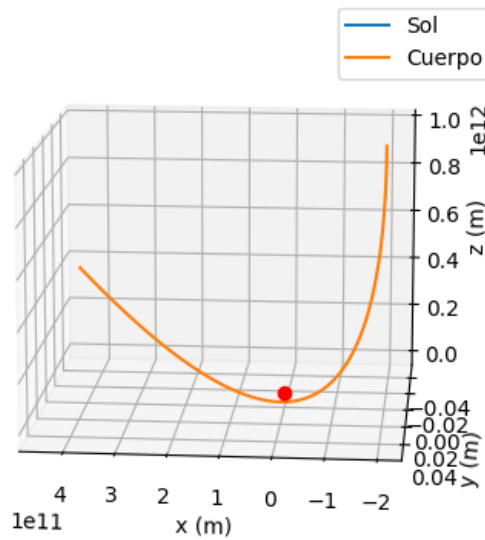


Figura 2.11: Resultado de simular una órbita parabólica de un cuerpo alrededor del Sol. El tiempo necesario para obtener este resultado fue de 46,38 segundos.

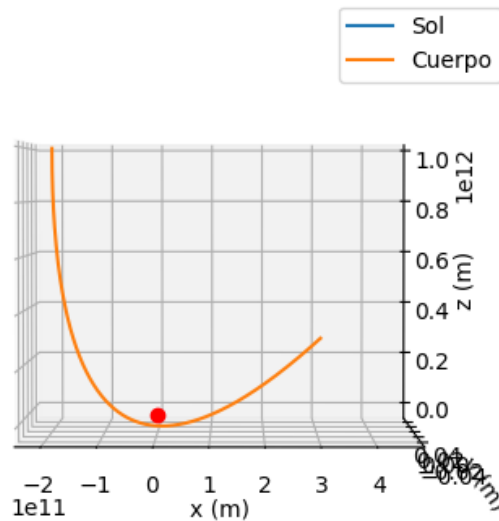


Figura 2.12: Resultado de simular una órbita parabólica de un cuerpo alrededor del Sol.

2.2. Resolución del problema de los 3 cuerpos

Como se mencionó anteriormente el problema de los tres cuerpos no tiene solución analítica y por ello se ha de recurrir a métodos numéricos.

En este casos se ha resuelto el problema de los tres cuerpos suponiendo el sistema Sol-Tierra y una sonda situada en L_2 a 1,5 millones de kilómetros de la Tierra.

Al resolver este problema desde un sistema de referencia inercial se obtienen los resultados que se pueden ver en la Figura 2.13 y 2.14.

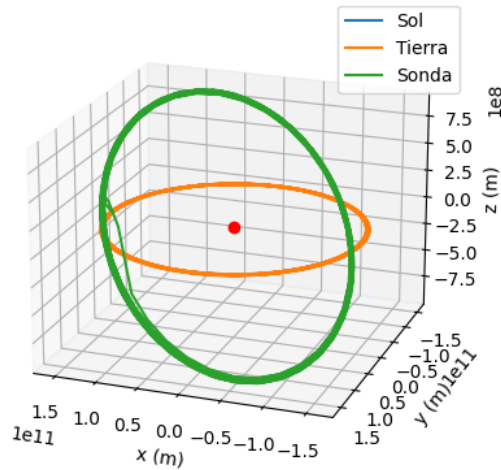


Figura 2.13: Resultado de resolver el problema de los tres cuerpos en sistema de referencia inercial. Las condiciones iniciales de la sonda fueron $\mathbf{r} = (151 \cdot 10^9, 0, 0)$ y $\mathbf{v} = (0, 29,9 \cdot 10^3, 165)$. Además se hicieron 500 mil iteraciones con paso temporal de 4.0. Cada periodo orbital son 37 mil iteraciones por lo que se han simulado alrededor de 13 periodos.

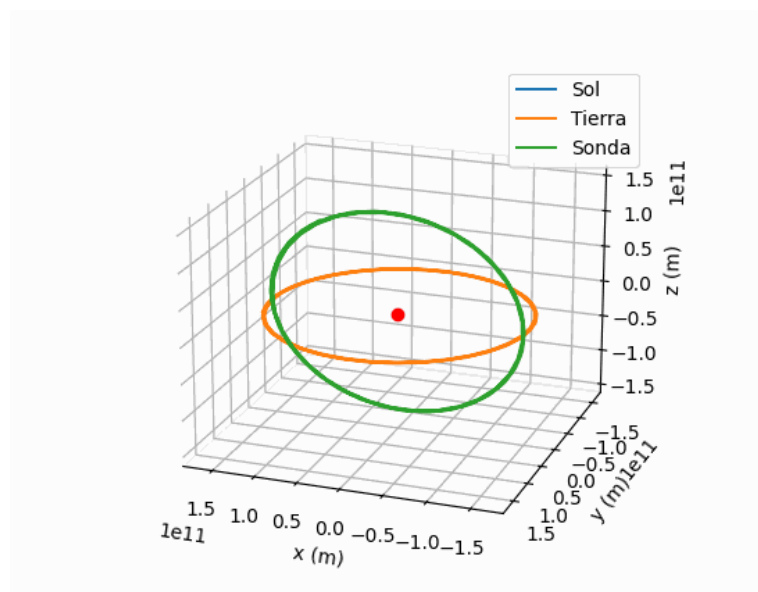


Figura 2.14: Resultado de resolver el problema de los tres cuerpos en sistema de referencia inercial. Las condiciones iniciales de la sonda fueron $\mathbf{r} = (151 \cdot 10^9, 837 \cdot 10^6, 0)$ y $\mathbf{v} = (0, 5 \cdot 10^3, 29 \cdot 10^3)$. Además se hicieron 250 mil iteraciones con paso temporal de 4.5. Cada periodo orbital son 17 mil iteraciones por lo que se han simulado cerca de 15 periodos.

2.2.1. Órbitas de halo y Lissajous

Al mismo tiempo que se realizaban las simulaciones arriba representadas se iba almacenando la posición angular de la Tierra. Con dichas posiciones se calculaba

una velocidad angular media que luego nos servía para hacer un cambio de sistema de referencia y pasar a uno que rotaba con la Tierra. De esta forma se podían obtener las órbitas de halo y Lissajous.

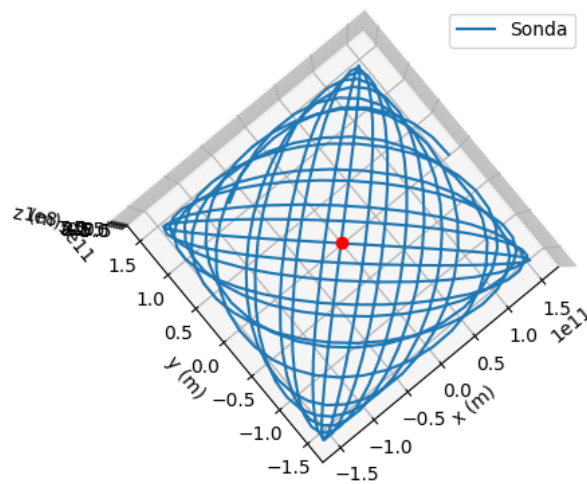


Figura 2.15: Órbita de Lissajous obtenida al hacer el cambio de coordenadas de la simulación de la Figura 2.13. El tiempo de simulación fue de 238,08 segundos.

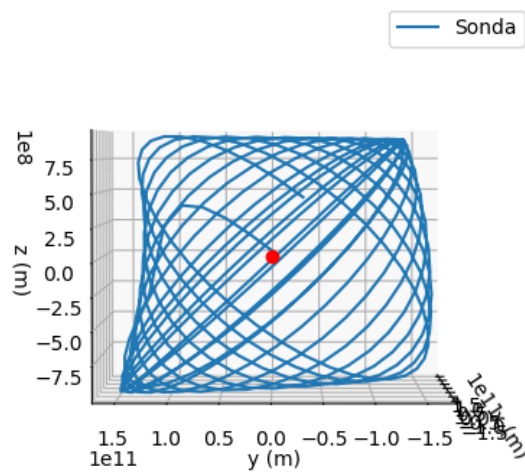


Figura 2.16: Órbita de Lissajous obtenida al hacer el cambio de coordenadas de la simulación de la Figura 2.13.

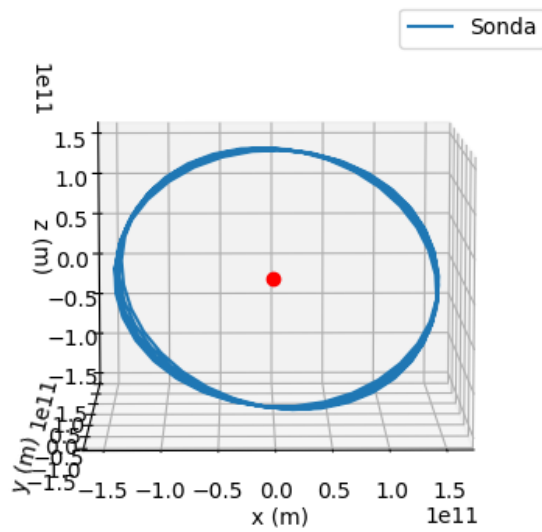


Figura 2.17: Órbita de Lissajous obtenida al hacer el cambio de coordenadas de la simulación de la Figura2.14. El tiempo de simulación fue de 155,90 segundos.

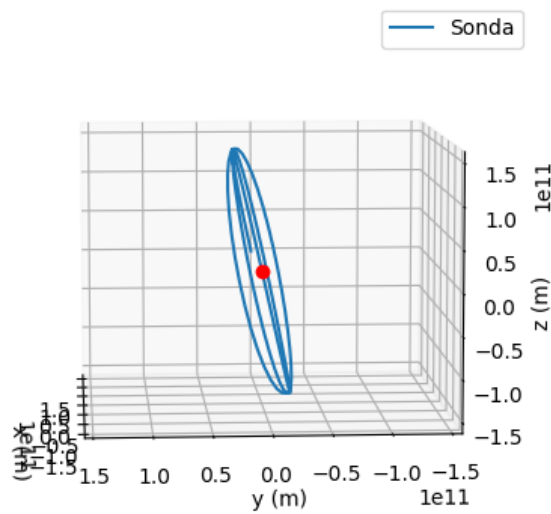


Figura 2.18: Órbita de Lissajous obtenida al hacer el cambio de coordenadas de la simulación de la Figura2.14.

Tal y como se puede comprobar lo que determina que se obtenga una u otra órbita son las condiciones iniciales. En el caso de la órbita de Lissajous la componente de la velocidad más grande es la componente en y mientras que para la órbita de Halo es la componente en z .

2.3. Simulación de la órbita de Ulysses

Otro cuerpo que pareció interesante simular fue la sonda Ulysses dado que tiene una órbita por encima de la eclíptica.

Para tomar esta órbita la sonda primero se impulsó con un *inertial upper stage* que hizo que la sonda tomara 15 km/s de velocidad y tras esto pasó a 378400 km de Júpiter de forma que la periapsis de su órbita se hallaba en dirección contraria al movimiento de Júpiter [9]. Esto provocó que la sonda se frenara y tomara una órbita polar alrededor del Sol tal y como se puede comprobar en [10].

Para simular adecuadamente esta órbita se considero que la sonda tenía una componente de la velocidad en y de 8,6 km/s y una componente en z de 12,29 km/s que en total son 15 km/s. Además se consideró que la posición inicial de Ulysses era $\mathbf{r} = (-378 \cdot 10^6, 778,5 \cdot 10^9, 0)$ de forma que se hallará en la misma posición en y que Júpiter pero en un punto en x tal que la periapsis estuviera en dirección opuesta al movimiento del planeta. Esto dio como resultado la simulación que se puede ver en la Figura 2.19.

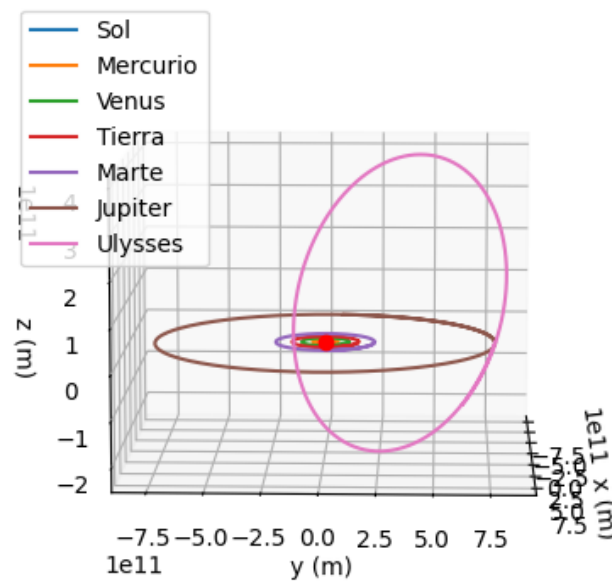


Figura 2.19: Resultado de simular la sonda Ulysses junto con el Sol y los 5 planetas más cercanos al mismo. El tiempo necesario para realizar esta simulación fue de 106,49 segundos.

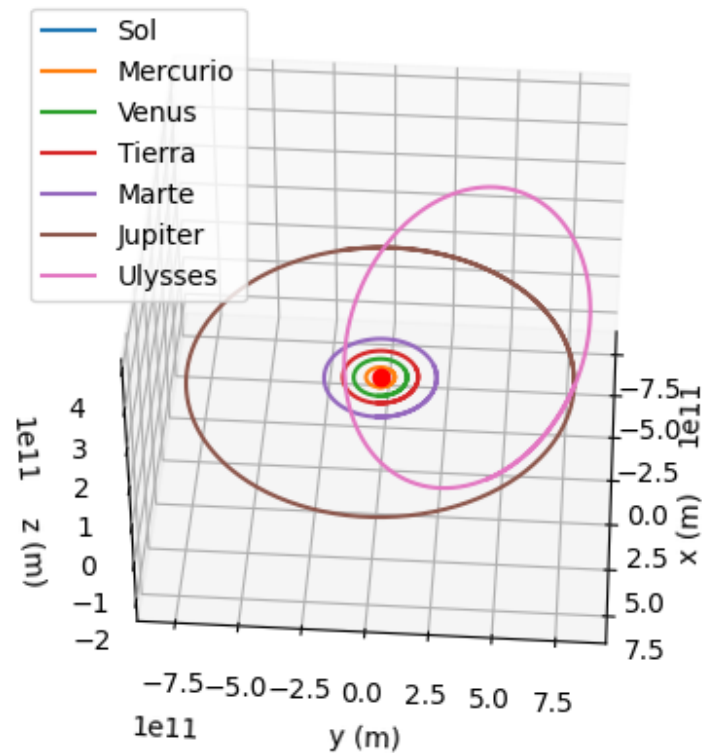


Figura 2.20: Resultado de simular la sonda Ulysses junto con el Sol y los 5 planetas más cercanos al mismo visto desde otro ángulo.

Tal y como se puede comprobar esta órbita es muy similar a la órbita que se ve en [10]. Por lo que la simulación es correcta. También se ha podido comprobar de esta forma que el programa es capaz de reproducir impulsos gravitatorios que unos cuerpos generan sobre otros.

2.4. Simulación masas iguales

Todas las simulaciones que se han presentado hasta ahora tenían una masa mucho mayor que el resto. Esto permitía situar el origen del sistema de referencia en dicha masa para obtener así un sistema de referencia, que aun no siendo el centro de masas real, reprodujera aproximadamente los resultados que se obtendrían en un sistema de referencia inercial.

En el presente caso se han situado 4 masas iguales en en las esquinas de un cuadrado de 600 km de largo con una velocidad de 1 km/s. El origen de coordenadas se ha situado en el centro del cuadrado de forma que, en este caso, coincida con el centro del masas del sistema. El resultado de dicha simulación se puede ver en el Figura 2.21.

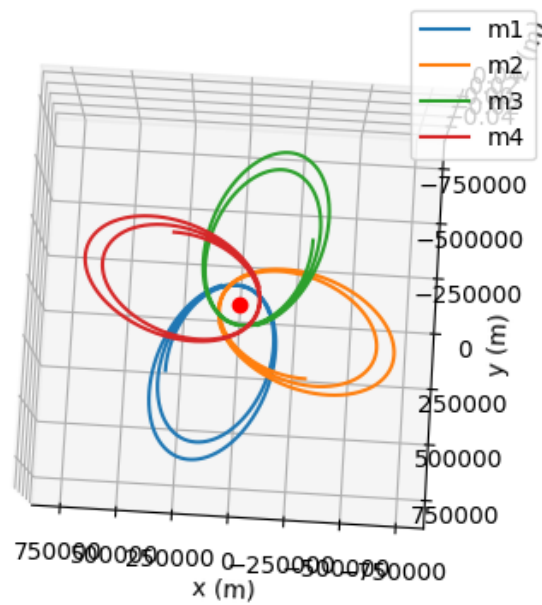


Figura 2.21: Resultado de simular 4 masas iguales sometidas a su interacción gravitatoria. El tiempo de simulación fue de 32.26 segundos.

Tal y como se puede comprobar el software sigue arrojando buenos resultados incluso aunque no haya una masa que sea mucho mayor que el resto.

Conclusiones

A lo largo de este trabajo se han repasado los conceptos más relevantes de la gravitación clásica y se han presentado algunos resultados que se pueden extraer de la misma. Tras constatar que para resolver sistemas más complejos que el de dos cuerpos es necesario recurrir a métodos numéricos, se ha explicado cómo se podría aplicar el método de Runge-Kutta de orden 4. Con dichas herramientas se ha podido construir un software que permite resolver el problema de N Cuerpos cuyo funcionamiento se ha explicado brevemente al final del primer capítulo.

El software ha permitido reproducir adecuadamente todas las órbitas que prevé el desarrollo teórico del problema de dos cuerpos. Además, en los casos elíptico e hiperbólico se han simulado los dos cuerpos empleados inicialmente junto con el resto del Sistema Solar para comprobar si las órbitas predichas se veían afectadas por la presencia del resto de masas. Tal y como se pudo ver la magnitud de la masa del Sol hace que dichas órbitas no se vean apenas afectadas.

Tras esto, se ha conseguido simular con éxito el problema de los 3 cuerpos y comprobar que es posible representar las órbitas de halo y Lissajous alrededor del punto L_2 del sistema Sol-Tierra.

Por último, y para poner a prueba las capacidades del programa, se han simulado las órbitas de la sonda Ulysses y un sistema imaginario formado por 4 masas iguales. El primer caso ha permitido asegurar que el software simula los impulsos gravitatorios que en ocasiones se emplean en viajes interplanetarios. El segundo caso, por otro lado, ha servido como prueba de que el programa arroja buenos resultados aunque no haya una masa mucho mayor que el resto de cuerpos.

Estos buenos resultados están condicionados por el sistema de referencia. Siempre se podrán obtener buenos resultados si el sistema de referencia es inercial. En el caso del problema de N Cuerpos dicho sistema de referencia se halla en el centro de masas.

Por ello, una de las posibles mejoras que se le podría hacer al programa es añadir una función que calcule la posición del centro de masas. Con eso habría que recalcular la posición del resto de cuerpos respecto a dicho punto. De esta forma se obtendría la trayectoria de los cuerpos respecto al centro de masas real del sistema y no respecto al aproximado que es lo que se ha hecho en la mayoría de simulaciones.

En conclusión, los resultados permiten decir que se ha conseguido elaborar un

programa que calcula y representa la solución al problema de N Cuerpos, que era el objetivo del trabajo. A pesar de ello, se le podrían añadir algunas mejoras como una función que calcule las trayectorias respecto al centro de masas real del sistema o incluir otros métodos numéricos para la integración de las órbitas.

Bibliografía

- [1] TAYLOR, JOHN R. *Mecánica Clásica*. Reverté, 2013.
- [2] CURTIS, H. *Orbital Mechanics for Engineering Students*. Elsevier, 2005.
- [3] QIAN, Y., XIAODONG, Y., WUXING, J. Y ZHANG, W. *An improved numerical method for constructing Halo/Lissajous orbits in a full solar system model*. Chinese Journal of Aeronautics, 2018.
- [4] VERIS DE IACO, A. *Practical astrodynamics*. Springer International Publishing, 2018.
- [5] https://cpb-us-e1.wpmucdn.com/sites.northwestern.edu/dist/2/77/files/2017/01/numerical_methods.compressed-1jnsi3e.pdf
- [6] SCHERER, PHILIPP O.J. *Computational Physics*. Springer, 2013.
- [7] PRESS, W.H., TEUKOLSKY, S.A., VETTERLING, W.T. Y FLANNERY, B.P. *Numerical Recipes in C*. Cambridge University Press, 1992.
- [8] <https://solarsystem.nasa.gov/asteroids-comets-and-meteors/comets/1p-halley/in-depth/>
- [9] <https://solarsystem.nasa.gov/missions/ulysses/in-depth/>
- [10] <https://sci.esa.int/web/ulysses/-/42904-orbit-of-ulysses>

Anexo 1: códigos

Código de la interfaz gráfica

```

1  from tkinter import *
2  from tkinter import filedialog
3  from tkinter import ttk
4  import numpy as np
5  from n_cuerpos import *
6  import matplotlib.pyplot as plt
7  from mpl_toolkits.mplot3d import Axes3D
8  import matplotlib.animation as animation
9  from matplotlib.animation import PillowWriter
10 from time import *
11
12 class n_body_simulator:
13
14     #We show the primary frame. Here the user must enter the
15     #number of bodies to be simulated
16
17     def __init__(self, root):
18
19         root.title("N-Body Simulator")
20
21         firstframe=ttk.Frame(root, padding="25 25 25
22         25",borderwidth=2)
23         firstframe.grid(column=0, row=0)
24
25         ttk.Label(firstframe,text="Select simulation
26         type").grid(column=0,row=0)
27         simuSelectVar=StringVar()
28
29         simuSelect=ttk.Combobox(firstframe,textvariable=simuSelec
30         tVar)
31
32         simuSelect["values"]="Standard simulation", "Orbits
33         around L2")
34         simuSelect.state(["readonly"])
35         simuSelect.grid(column=0, row=1)
36
37     def simuBind(event):
38
39         if event.widget.get()=="Standard simulation":
40
41             thirdframe=ttk.Frame(root,padding="50 50 50 50")
42             thirdframe.grid(column=1,row=0)
43
44             self.num_cuerpos_str=StringVar()
45
46             num_cuerpos_entry=ttk.Entry(thirdframe,width=15,t
47             extvariable=self.num_cuerpos_str)
48             num_cuerpos_entry.grid(column=0,row=1)
49
50             #This button runs n_body_data_entry method that
51             #allows the user to comfortably introduce the
52             #initial
53             #conditions of the system
54             ttk.Label(thirdframe, text="Enter number of
55             bodies").grid(column=0,row=0)
56             ttk.Button(thirdframe, text="Accept",
57             command=self.n_body_data_entry).grid(column=0,
58             row=2)
59
60         if event.widget.get()=="Orbits around L2":

```

```

50
51
52     thirdframe=ttk.Frame(root,padding="50 50 50 50")
53     thirdframe.grid(column=1,row=0)
54
55     ttk.Label(thirdframe, text="Number of
56     steps:").grid(column=0,row=0)
57     l2IterStr=StringVar()
58     l2IterEntry=ttk.Entry(thirdframe,
59     width=15,textvariable=l2IterStr)
60     l2IterEntry.grid(column=1,row=0)
61
62     ttk.Label(thirdframe, text="Step
63     size:").grid(column=0,row=1)
64     l2StepStr=StringVar()
65
66     l2StepEntry=ttk.Entry(thirdframe,width=15,textvar
67     iable=l2StepStr)
68     l2StepEntry.grid(column=1,row=1)
69
70     ttk.Label(thirdframe,text="Orbit
71     type").grid(column=0,row=2)
72     l2TypeStr=StringVar()
73
74     l2TypeEntry=ttk.Combobox(thirdframe,textvariable=
75     l2TypeStr,width=15)
76
77     l2TypeEntry["values"]=("Lissajous","Halo")
78     l2TypeEntry.state(["readonly"])
79     l2TypeEntry.grid(column=1,row=2)
80
81     ttk.Label(thirdframe,text="Simulation
82     name:").grid(column=0,row=3)
83     l2SimNameStr=StringVar()
84
85     l2SimNameEntry=ttk.Entry(thirdframe,width=15,text
86     variable=l2SimNameStr)
87     l2SimNameEntry.grid(column=1,row=3)
88
89     def getl2Data():
90         self.iterations=int(l2IterStr.get())
91         self.l2Step=float(l2StepStr.get())
92         self.l2Type=str(l2TypeStr.get())
93         self.sim_name=str(l2SimNameStr.get())
94         self.directory=filedialog.askdirectory()
95
96         ttk.Button(thirdframe, text="Run",
97         command=self.l2OrbitSimulation).grid(column=2
98         ,row=4)
99
100        ttk.Button(thirdframe,text="Save",command=getl2Da
101        ta).grid(column=1,row=4)
102        simuSelect.bind("<<ComboboxSelected>>",simuBind)
103
104    def l2OrbitSimulation(self,*args):
105
106        startTime=time()
107
108        self.BodyPosi,self.l2OrbitPosi=lissajousOrbit(self.iterat

```

```

96         ions, self.l2Step, self.l2Type)
97         self.names=["Sol","Tierra","Sonda"]
98         self.num_cuerpos=3
99         self.draw_results(self.BodyPosi)
100
101         self.names=["Sonda"]
102         self.num_cuerpos=1
103         self.sim_name=self.sim_name+"_"+self.l2Type
104         self.draw_results(self.l2OrbitPosi)
105         endTime=time()
106         print("Tiempo de simulación:",endTime-startTime)
107     def n_body_data_entry(self,*args):
108         #This method will let the user enter both the mass and
109         #initial positions and velocities of the bodies
110
111         #We first define the functions that will check that the
112         #input has the proper format
113         def check_float(inputval):
114             try:
115                 float(inputval)
116
117             except:
118                 print("Invalid input:", inputval)
119             else:
120                 return True
121
122         def check_int(inputval):
123             try:
124                 int(inputval)
125
126             except:
127                 print("Invalid input:", inputval)
128             else:
129                 return True
130
131         #Now we define the rest of the method
132         name_entries=[]
133         masa_entries=[]
134         posi_entries=[]
135         f_time_entries=[]
136
137         self.num_cuerpos=int(self.num_cuerpos_str.get())
138
139         self.vec_ini=np.zeros((self.num_cuerpos*6))
140         self.masas=np.zeros(self.num_cuerpos)
141         self.names=np.empty(self.num_cuerpos,dtype=object)
142         self.f_time=np.zeros(self.num_cuerpos)
143
144         topSecondFrame=tk.Frame(root,padding="75 75 75 75")
145         topSecondFrame.grid(column=2,row=0)
146         secondframe=tk.Frame(topSecondFrame,padding="75 75 75
147         75")
148         secondframe.grid(column=2, row=0)
149
150         secondframe.pack_forget()
151
152         #This blovk allows the user to name the bodies
153         ttk.Label(secondframe,text="Name").grid(column=0,row=0)
154         for i in range(self.num_cuerpos):
155             name_entry=tk.Entry(secondframe,width=15)
156             name_entry.grid(column=0,row=1+i)

```

```

155         name_entries.append(name_entry)
156     #This block allows the user to enter the mass
157     ttk.Label(secondframe, text="Mass").grid(column=1, row=0)
158     for i in range(self.num_cuerpos):
159         masa_entry=ttk.Entry(secondframe, width=15,
160                             validate='focusout', validatecommand=(root.register(ch
161                             eck_float), '%P'))
162         masa_entry.grid(column=1, row=1+i)
163         masa_entries.append(masa_entry)
164
165
166     #This block is to introduce initial positions and
167     velocities
168
169     ttk.Label(secondframe, text="x").grid(column=2, row=0)
170     ttk.Label(secondframe, text="y").grid(column=3, row=0)
171     ttk.Label(secondframe, text="z").grid(column=4, row=0)
172     ttk.Label(secondframe, text="Vx").grid(column=5, row=0)
173     ttk.Label(secondframe, text="Vy").grid(column=6, row=0)
174     ttk.Label(secondframe, text="Vz").grid(column=7, row=0)
175
176     for l in range(6):
177         for k in range(self.num_cuerpos):
178
179             init_entry=ttk.Entry(secondframe, width=15,
180                                 validate='focusout', validatecommand=(root.registe
181                                 r(check_float), '%P'))
182             init_entry.grid(column=2+l, row=1+k)
183             posi_entries.append(init_entry)
184
185
186     ttk.Label(secondframe, text="Stepsize").grid(column=8, row=
187     0)
188     for i in range(self.num_cuerpos):
189
190         f_time_entry=ttk.Entry(secondframe, width=15, validate=
191         'focusout', validatecommand=(root.register(check_float
192         ), '%P'))
193         f_time_entry.grid(column=8, row=1+i)
194         f_time_entries.append(f_time_entry)
195
196     #Initial and final time and iteration number
197     error_str=StringVar()
198     ttk.Label(secondframe, text="Error").grid(column=9, row=1)
199
200     error_entry=ttk.Entry(secondframe, width=15, validate='focu
201     sout', validatecommand=(root.register(check_float), '%P'), t
202     extvariable=error_str)
203     error_entry.grid(column=10, row=1)
204
205     iter_entry_str=StringVar()
206
207     ttk.Label(secondframe, text="Iterations").grid(column=9, ro
208     w=2)
209
210     iter_entry=ttk.Entry(secondframe, width=15, validate='focus
211     out', validatecommand=(root.register(check_int), '%P'), text
212     variable=iter_entry_str)

```



```

256         name_entries[i-3].insert(0,line[0])
257
258         masa_entries[i-3].delete(0,'end')
259         masa_entries[i-3].insert(0,line[1])
260
261         posi_entries[i-3].delete(0,'end')
262         posi_entries[i-3].insert(0,line[2])
263
264
265         posi_entries[i+self.num_cuerpos-3].delete
266         (0,'end')
267
268         posi_entries[i+self.num_cuerpos-3].insert
269         (0,line[3])
270
271         posi_entries[i+2*self.num_cuerpos-3].dele
272         te(0,'end')
273
274         posi_entries[i+2*self.num_cuerpos-3].inse
275         rt(0,line[4])
276
277         posi_entries[i+3*self.num_cuerpos-3].dele
278         te(0,'end')
279
280         posi_entries[i+3*self.num_cuerpos-3].inse
281         rt(0,line[5])
282
283         posi_entries[i+4*self.num_cuerpos-3].dele
284         te(0,'end')
285
286         posi_entries[i+4*self.num_cuerpos-3].inse
287         rt(0,line[6])
288
289         posi_entries[i+5*self.num_cuerpos-3].dele
290         te(0,'end')
291
292         posi_entries[i+5*self.num_cuerpos-3].inse
293         rt(0,line[7])
294
295         f_time_entries[i-3].delete(0,'end')
296         f_time_entries[i-3].insert(0,line[8])
297
298         i+=1
299
300     ttk.Button(secondframe,text="Save",command=get_init_data)
301     .grid(column=7,row=self.num_cuerpos+1)
302     ttk.Button(secondframe,text="Import
303     file",command=importFile).grid(column=7,row=self.num_cuer
304     pos+2)
305
306     def call_simulator(self,*args):
307
308         startTime=time()
309         self.rk4_simulation_results=orbita(self.error,
310         self.f_time,self.iterations,self.vec_ini,self.num_cuerpos
311         ,self.masas)

```

Código para el cálculo numérico

```

1  import numpy as np
2  import matplotlib.pyplot as plt
3  from mpl_toolkits.mplot3d import Axes3D
4  import matplotlib.animation as animation
5  from matplotlib.animation import PillowWriter
6
7
8
9  def rcalc(x1,x2,y1,y2,z1,z2):
10     return np.sqrt((x1-x2)**2+(y1-y2)**2+(z1-z2)**2)
11
12  def generador_matriz(n, masas, posiciones):
13
14     mat_op=np.zeros((6*n,6*n))
15     gamma=np.zeros(len(masas))
16
17     #Definimos un vector con las gammas
18     for i in range(len(masas)):
19         gamma[i]=masas[i]*6.67e-11
20
21     #Generamos la matriz que incluye los elementos de las leyes
22     de movimiento
23     mat_bloque=np.zeros((n,n))
24
25     for k in range(n):
26         for l in range(n):
27             if (k-l)!=0:
28
29                 mat_bloque[k][l]=gamma[l]/rcalc(posiciones[k],posiciones[l],posiciones[k+n],posiciones[l+n],posiciones[k+2*n],posiciones[l+2*n])**3
30
31     for k in range(n):
32         suma=0
33         for l in range(n):
34             suma+/-mat_bloque[k][l]
35         mat_bloque[k][k]=suma
36
37     #Generamos el primer bloque
38     fila=0
39     columna=0
40     for i in range(int(3*n) , 3*n+n):
41
42         for j in range(0, n):
43
44             mat_op[i][j]=mat_bloque[fila][columna]
45             columna+=1
46         fila+=1
47         columna=0
48
49     #Generamos el segundo bloque
50     fila=0
51     columna=0
52     for i in range(3*n+n, 3*n+2*n):
53
54         for j in range(n, 2*n):
55
56             mat_op[i][j]=mat_bloque[fila][columna]
57             columna+=1
58         fila+=1

```

```

59         columna=0
60
61     #Generamos el tercer bloque
62     fila=0
63     columna=0
64     for i in range(3*n+2*n, 3*n+3*n):
65
66         for j in range(2*n, 3*n):
67
68             mat_op[i][j]=mat_bloque[fila][columna]
69             columna+=1
70             fila+=1
71             columna=0
72
73     #Generamos la diagonal
74
75     for i in range(0, int(3*n)):
76         for j in range(int(n*3), 6*n):
77             if j-i==int(n*3):
78                 mat_op[i][j]=1
79
80
81     return mat_op
82
83     #####
84     #####
85     def rk4(mat_ini, vec_ini, paso):
86
87         k1=paso*(mat_ini.dot(vec_ini))
88         k2=paso*(mat_ini.dot(vec_ini)+paso*k1/2)
89         k3=paso*(mat_ini.dot(vec_ini)+paso*k2/2)
90         k4=paso*(mat_ini.dot(vec_ini)+k3*paso)
91
92         vec_fin=vec_ini+(1/6)*(k1+2*k2+2*k3+k4)
93
94         return vec_fin
95
96
97
98     def checkStep(mat_ini,vec_ini,paso,error):
99
100         #We calculate fn1 with two steps
101
102         fn=rk4(mat_ini,vec_ini,paso/2)
103         fn1=rk4(mat_ini,fn,paso/2)
104
105         #We calculate fn1 with one step
106
107         fn1_2=rk4(mat_ini,vec_ini,paso)
108
109         #We take a different stepsize for each body
110
111         #We check the errors and modify the stepsizes of each body
112         loopError=np.abs(fn1-fn1_2)
113
114         numCuerpos=len(vec_ini)//6
115         bodyLoopError=np.zeros(6)
116
117         bodyLocalError=np.zeros(6)
118
119         for i in range(numCuerpos):

```

```

120
121     bodyLoopError[0]=loopError[i]
122     bodyLoopError[1]=loopError[i+numCuerpos]
123     bodyLoopError[2]=loopError[i+2*numCuerpos]
124     bodyLoopError[3]=loopError[i+3*numCuerpos]
125     bodyLoopError[4]=loopError[i+4*numCuerpos]
126     bodyLoopError[5]=loopError[i+5*numCuerpos]
127
128     bodyLocalError[0]=error[i]
129     bodyLocalError[1]=error[i+numCuerpos]
130     bodyLocalError[2]=error[i+2*numCuerpos]
131     bodyLocalError[3]=error[i+3*numCuerpos]
132     bodyLocalError[4]=error[i+4*numCuerpos]
133     bodyLocalError[5]=error[i+5*numCuerpos]
134
135     for j in range(len(bodyLoopError)):
136         if bodyLoopError[j]<1e-6:
137             bodyLoopError[j]=1e-6
138         if bodyLocalError[j]<1e-6:
139             bodyLocalError[j]=1e-6
140
141     maxBodyError=np.max(bodyLoopError)
142     maxLocalError=np.max(bodyLocalError)
143
144     if maxBodyError>=maxLocalError:
145         stepScale=np.abs(maxLocalError/maxBodyError)**0.25
146     elif maxBodyError<maxLocalError:
147         stepScale=np.abs(maxLocalError/maxBodyError)**0.2
148
149     #Now we can scale the step of the body
150
151
152
153     paso[i]=paso[i]*stepScale
154     paso[numCuerpos+i]= paso[numCuerpos+i]*stepScale
155     paso[2*numCuerpos+i]=paso[2*numCuerpos+i]*stepScale
156     paso[3*numCuerpos+i]=paso[3*numCuerpos+i]*stepScale
157     paso[4*numCuerpos+i]=paso[4*numCuerpos+i]*stepScale
158     paso[5*numCuerpos+i]=paso[5*numCuerpos+i]*stepScale
159
160     return paso
161
162
163 def orbita(error,t_fin, iteraciones, vec_actual, n_cuerpos,
164 masas):
165     posiciones=np.zeros((iteraciones+1, n_cuerpos*3))
166     velocidades=np.zeros((iteraciones+1,n_cuerpos*3))
167
168     #We assign the stepsizes
169     delta_t=np.zeros(n_cuerpos*6)
170     for i in range(n_cuerpos):
171
172         delta_t[i]=t_fin[i]
173         delta_t[n_cuerpos+i]=t_fin[i]
174         delta_t[2*n_cuerpos+i]=t_fin[i]
175
176         delta_t[3*n_cuerpos+i]=t_fin[i]
177         delta_t[4*n_cuerpos+i]=t_fin[i]
178         delta_t[5*n_cuerpos+i]=t_fin[i]
179
180     a=0
181     time=0

```

```

181
182 while a<=iteraciones:
183     #Almacenamos las posiciones
184
185
186     for k in range(0,n_cuerpos*3):
187         posiciones[a][k]=vec_actual[k]
188         velocidades[a][k]=vec_actual[k+int(n_cuerpos*3)]
189
190
191     mat_op=generador_matriz(n_cuerpos, masas=masas,
192                             posiciones=vec_actual[0:n_cuerpos*3])
193
194     localError=np.abs(error*vec_actual)
195     delta_t=checkStep(mat_op, vec_actual, delta_t,
196                       localError)
197
198
199     vec_actual=rk4(mat_op,vec_actual,delta_t)
200
201     a=a+1
202     print(a)
203     time+=delta_t
204
205     return posiciones
206
207 #ORBITAS DE LISSAJOUS/HALO
208
209
210 def lissajousOrbit(iteraciones,step, orbitType):
211     n_cuerpos=3
212
213     posiciones=np.zeros((iteraciones+1, n_cuerpos*3))
214     velocidades=np.zeros((iteraciones+1,n_cuerpos*3))
215
216     posiLissajous=np.zeros((iteraciones+1,3))
217
218
219     #To get the Lissajous/Halo orbit in the vicinity of a
220     Lagrange point we must
221     #first solve the 3 body problem of the Sun-Earth-Probe
222     system. Then
223     #we can compute Earth's orbital angular velocity with
224     respect to the Sun
225     #and from there we can solve the equations of motion of the
226     non-inertial
227     #reference frame that will give us the Lissajous/Halo orbit.
228
229     #First we initialize the vector with the bodies' positions
230     and speed
231
232     if orbitType=="Halo":
233         #vec3BodyL2=np.array([0,384e6, 476.333e6, 0,0,0,
234                             0,0,-4.478e6, 0,0,37.02,0,1000,-1000+154,0,0,0])
235         vec3BodyL2=np.array([0,150e9,151.5e9, 0,0,837e6, 0,0,0,
236                             0,0,0, 0,30e3,5e3,0,0,29e3])
237     elif orbitType=="Lissajous":
238         vec3BodyL2=np.array([0,150e9,151.5e9, 0,0,0, 0,0,0,

```

```

234         0,0,0, 0,30e3,29.9e3,0,0,0.165e3])
235
236         #vec3BodyL2=np.array([0,384e6, 464.183e6, 0,0,13.912e6,
237         0,0,4.519e6, 0,0,57.83,0,1000,1018.18,0,0,16.3])
238
239         #masas=np.array([5.972e24,7.35e22, 6000 ])
240         masas=np.array([2e30,5.972e24,6000])
241         #This vector gives the initial conditions of our system. We
242         now simulate the
243         #system the number of iterations given by the user.
244         delta_t=step
245
246         a=0
247
248         thetaTemp=0.0
249         thetaArray=np.zeros(iteraciones+1)
250         while a<=iteraciones:
251
252
253             for k in range(0,n_cuerpos*3):
254                 posiciones[a][k]=vec3BodyL2[k]
255                 velocidades[a][k]=vec3BodyL2[k+int(n_cuerpos*3)]
256
257             #localError=np.abs(error*vec3BodyL2)
258             #delta_t=checkStep(mat_op, vec3BodyL2, delta_t,
259             localError)
260
261             mat_op=generador_matriz(3, masas, vec3BodyL2[:9])
262             #vec3BodyL2=rk4(mat_op,vec3BodyL2,delta_t)
263
264             #We introduce this vector in the R3BCP function
265
266             vec3BodyL2=rk4(mat_op,vec3BodyL2,delta_t)
267
268             #We calculate the current angular position between the
269             IRF and the NIRF
270
271             rMoon=np.array([vec3BodyL2[1],vec3BodyL2[4],vec3BodyL2[7]
272             ])
273             if rMoon[0]>=0 and rMoon[1]>=0:
274                 theta=np.arctan(rMoon[1]/rMoon[0])
275             elif rMoon[0]<=0 and rMoon[1]>=0:
276                 theta=np.pi-np.arctan(-rMoon[1]/rMoon[0])
277             elif rMoon[0]<=0 and rMoon[1]<=0:
278                 theta=np.arctan(rMoon[1]/rMoon[0])+np.pi
279             elif rMoon[0]>=0 and rMoon[1]<=0:
280                 theta=2*np.pi-np.arctan(-rMoon[1]/rMoon[0])
281
282
283             thetaArray[a]=(theta-thetaTemp)/delta_t
284             print(thetaArray)
285
286             thetaTemp=theta
287             a+=1
288             print(a)

```


Anexo 2: archivos .txt de para el input

Órbita circular

```
Error 1e-4
Iterations 100000
Name orbitaCircular
Sol 2e30 0 0 0 0 0 0 1.0
Cuerpo 5e22      75e9 0 0 0 4.217e4 0 1.0
```

Halley-Sol

```
Error 1e-4
Iterations 250000
Name orbitaEliptica
Sol 2e30 0 0 0 0 0 0 1.0
Halley 2.2e14 -87.8e9 0 0 0 -54.55e3 0 1.0
```

Halley-Sistema Solar

```
Error 1e-4
Iterations 100000
Name halleySolarSystem
Sol 2e30 0 0 0 0 0 0 1.0
Halley 2.2e14 -87.8e9 0 0 0 -54.55e3 0 1.0
Mercurio 3.285e23 58e9 0 0 0 47.85e3 0 2.0
Venus 4.867e24 108.2e9 0 0 0 35e3 0 2.0
Tierra 5.972e24 150e9 0 0 0 30e3 0 2.0
Marte 6.39e23 227.9e9 0 0 0 24.1e3 0 2.0
Jupiter 1.898e27 0 778.5e9 0 -13.1e3 0 0 5.0
Saturno 5.683e26 -1434e9 0 0 0 -9.67e3 0 5.0
Urano 8.681e25 2871e9 0 0 0 6.81e3 0 10.0
Neptuno 1.024e26 -4495e9 0 0 0 -5.477e3 0 10.0
Pluton 1.25e22 6984e9 0 2135e9 0 4.7e3 0 10.0
```

Oumuamua-Sol

Error 1e-4
 Iterations 50000
 Name orbitaHiperbolica
 Sol 2e30 0 0 0 0 0 0 1.0
 Oumuamua 4e4 -200e9 0 1500e9 0 0 -38.3e3 1.0

Oumuamua-Sistema Solar

Error 1e-4
 Iterations 100000
 Name oumuamuaSolarSystem
 Sol 2e30 0 0 0 0 0 0 1.0
 Oumuamua 4e4 -200e9 0 1500e9 0 0 -29.5e3 1.0
 Mercurio 3.285e23 58e9 0 0 0 47.85e3 0 2.0
 Venus 4.867e24 108.2e9 0 0 0 35e3 0 2.0
 Tierra 5.972e24 150e9 0 0 0 30e3 0 2.0
 Marte 6.39e23 227.9e9 0 0 0 24.1e3 0 2.0
 Jupiter 1.898e27 0 778.5e9 0 -13.1e3 0 0 5.0
 Saturno 5.683e26 -1434e9 0 0 0 -9.67e3 0 5.0
 Urano 8.681e25 2871e9 0 0 0 6.81e3 0 10.0
 Neptuno 1.024e26 -4495e9 0 0 0 -5.477e3 0 10.0
 Pluton 1.25e22 6984e9 0 2135e9 0 4.7e3 0 10.0

Órbita parabólica

Error 1e-4
 Iterations 85000
 Name orbitaParabolica
 Sol 2e30 0 0 0 0 0 0 1.0
 Cuerpo 4e4 -200e9 0 1000e9 0 0 -16.17e3 1.0

Ulysses

Error 1e-4
 Iterations 100000
 Name ulysses
 Sol 2e30 0 0 0 0 0 0 1.0
 Mercurio 3.285e23 58e9 0 0 0 47.85e3 0 2.0
 Venus 4.867e24 108.2e9 0 0 0 35e3 0 2.0
 Tierra 5.972e24 150e9 0 0 0 30e3 0 2.0
 Marte 6.39e23 227.9e9 0 0 0 24.1e3 0 2.0
 Jupiter 1.898e27 0 778.5e9 0 -13.1e3 0 0 5.0
 Ulysses 367 -378.4e6 778.5e9 0 0 8.6e3 12.29e3 5.0

Masas iguales

Error 1e-4

Iterations 10000

Name masas

```
m1 1e22 300e3 300e3 0 0 -1e3 0 1.0
m2 1e22 -300e3 300e3 0 1e3 0 0 1.0
m3 1e22 -300e3 -300e3 0 0 1e3 0 1.0
m4 1e22 300e3 -300e3 0 -1e3 0 0 1.0
```